

**МІНІСТЕРСТВО ОСВІТИ І НАУКИ УКРАЇНИ
ВСП «ОДЕСЬКИЙ ТЕХНІЧНИЙ ФАХОВИЙ КОЛЕДЖ ОНТУ»**

Спеціальність: 123 «Комп'ютерна інженерія»

Освітня програма: «Комп'ютерна графіка і Web-дизайн»

Група: 4КГ-05

Дипломний проект

**здобувача освіти денної форми навчання
КГ.05.32.000.ДП**

***ЧЕЧИКОВОЇ
ЮЛІЇ ПАВЛІВНИ***

**м. Одеса
2022 р.**

МІНІСТЕРСТВО ОСВІТИ І НАУКИ УКРАЇНИ
ВСП «ОДЕСЬКИЙ ТЕХНІЧНИЙ ФАХОВИЙ КОЛЕДЖ ОНТУ»

Спеціальність: **123 «Комп'ютерна інженерія»**

Освітня програма: **«Комп'ютерна графіка і Web-дизайн»**

Група: **4КГ-05**

ПОЯСНЮВАЛЬНА ЗАПИСКА

до дипломного проекту (роботи) на тему:

Розробка програмних засобів для порівняння папілярних візерунків відбитків пальців

Проектний матеріал складається з пояснювальної записки на 59 сторінках та графічного (презентаційного) матеріалу на 14 аркушах (слайдах).

Дипломник _____ (Чечикова Ю.П.)

Керівник _____ (Кривченко Ю.В.)

Консультанти:

з економічної частини _____ (Копайгородська Т.Г.)

з охорони праці _____ (Чорновол Н.І.)

з дотримання вимог ЄСКД _____ (Петрашова В.І.)

старший консультант _____ (Скорнякова О.В.)

До захисту допущений

Голова циклової комісії _____ (Скорнякова О.В.)

Завідувач відділення _____ (Суліма Ю.Ю.)

Захист « » _____ 2022 р. Протокол ДКК №

Оцінка ДКК _____

Секретар ДКК _____

МІНІСТЕРСТВО ОСВІТИ І НАУКИ УКРАЇНИ
ВСП «ОДЕСЬКИЙ ТЕХНІЧНИЙ ФАХОВИЙ КОЛЕДЖ ОНТУ»

Відділення комп'ютерних систем Комісія КТ та III
Спеціальність 123 «Комп'ютерна інженерія»
Освітня програма «Комп'ютерна графіка і Web-дизайн»

ЗАТВЕРДЖУЮ:

Заст. дир. з НВР _____
Беркань І.В.
« _____ » _____ 2022 р.

ЗАВДАННЯ

на дипломний проект (роботу)

Здобувачеві (здобувачці) освіти Чечикової Юлії Павлівні
(прізвище, ім'я, по батькові)

1. Тема проекту (роботи) Розробка програмних засобів для порівняння папілярних візерунків відбитків пальців

затверджена наказом по коледжу від " _____ " _____ 2022 р. № _____

2. Термін здачі закінченого проекту (роботи) _____

3. Вихідні данні до проекту (роботи) _____

1. Реалізувати етапи обробки: виправлення спотворень зображень відбитків пальців; виділення мініюцій; виключення ненадійних мініюцій; конвертація параметрів; облік кореляції зображень; порівняння одного відбитку з іншими у базі даних; 2. Передбачити модульну структура програмного забезпечення; 3. Забезпечити роботу програмного застосунку у операційній системі MS Windows 10 (x86-x64)

4. Зміст розрахунково-пояснювальної записки (перелік питань, які необхідно розробити)
Функціональна структура системи ідентифікації особи; Етапи роботи системи ідентифікації особи; Аналітичний огляд рішень для ідентифікації особи; Розробка та опис функціональної структури системи розпізнавання; Алгоритм перетворення абсолютних параметрів мініюцій до відносних; Алгоритм порівняння структурних представлень відбитків пальців; Розробка керівництва програміста; Розробка керівництва оператора застосунку

5. Перелік графічного (презентаційного) матеріалу (з точним зазначенням обов'язкових креслень, кількості слайдів)
Приклади біометричних систем з розпізнаванням відбитків пальців; Зображення відбитків пальців та аналіз їх візерунків; Область допуску, у якій положення крапки відносно іншої збіглася; Відносні параметри розташування точок; Функціональна схема системи порівняння папілярних візерунків відбитків пальців; Функціональна схема підсистеми розпізнавання; Блок-схеми підпрограм системи розпізнавання відбитків; Інтерфейс програмного застосунку для порівняння відбитків пальців та результати порівняння; Зображення оброблених відбитків пальців з виділеними мініюціями

6. Консультанти по проекту (роботі), із зазначенням розділів проекту, що їх стосується

| Розділ | Консультант | Підпис, дата | |
|-------------------------|---------------------|----------------|------------------|
| | | Завдання видав | Завдання прийняв |
| 1. Технологічний розділ | Кривченко Ю.В. | | |
| 2. Екон. частина | Копайгородська Т.Г. | | |
| 3. Охорона праці | Чорновол Н.І. | | |
| Нормоконтроль | Петрашова В.І. | | |

7. Дата видачі завдання _____

Керівник *Кривченко Ю.В.* _____
(підпис)

Завдання прийняв до виконання _____
(підпис)

КАЛЕНДАРНИЙ ПЛАН

| № з/р | Назва етапів дипломного проекту (роботи) | Термін виконання етапів дипломного проекту (роботи) | Відмітка про виконання |
|-------|--|---|------------------------|
| 1. | Вступ. Постановка задач розробки | 5.05.2022 | |
| 2. | Обґрунтування доцільності розробки аналізатору відбитків пальців | 7.05.2022 | |
| 3. | Аналітичний огляд рішень для розпізнавання користувача за відбитками пальців | 10.05.2022 14.05.2022 | |
| 4. | Основні вимоги до системи розпізнавання користувача | 16.05.2022 | |
| 5. | Вибір технічних та програмних засобів розробки | 19.05.2022 | |
| 6. | Опис вхідної та вихідної інформації системи | 21.05.2022 | |
| 7. | Опис алгоритму перетворення параметрів мінуцій | 23.05.2022 | |
| 8. | Опис алгоритму порівняння структурних представлень | 26.05.2022 | |
| 9. | Складання програми в середовищі Visual Studio C++ | 28.05.2022 | |
| 10. | Реалізація та опис контрольного прикладу | 30.05.2022 | |
| 11. | Створення керівництва програміста та користувача | 4.06.2022 | |
| 12. | Аналіз результатів, підготовка презентації | 10.06.2022 | |
| 13. | Розробка питань з економіки охорони праці | 13.06.2022 | |

Дипломник _____
(підпис)

Керівник _____
(підпис)

ЗМІСТ

| | |
|--|----|
| Вступ..... | 7 |
| 1 Технологічний розділ..... | 8 |
| 1.1 Функціональна структура системи ідентифікації особи..... | 9 |
| 1.2 Обґрунтування мети створення ідентифікації особи..... | 10 |
| 1.3 Етапи роботи системи ідентифікації особи..... | 11 |
| 1.4 Аналітичний огляд рішень для ідентифікації особи..... | 12 |
| 1.4.1 Біометричний термінал BioLink..... | 13 |
| 1.4.2 Клавіатура Microsoft IntelliMouse Explorer Fingerprint Reader..... | 14 |
| 1.4.3 Смартфон з функцією розпізнавання відбитків пальців Samsung Galaxy S20..... | 15 |
| 1.4.4 Флеш-накопичувач із USB-сканером відбитків пальців..... | 16 |
| 1.5 Основні вимоги до системи ідентифікації особи..... | 17 |
| 1.5.1 Критерії ефективності функціонування системи..... | 17 |
| 1.5.2 Вимоги до структури програмного забезпечення..... | 18 |
| 1.5.3 Вимоги до програмних засобів розробки..... | 18 |
| 1.6 Розробка та опис функціональної структури системи розпізнавання..... | 19 |
| 1.6.1 Вхідна інформація для системи розпізнавання..... | 20 |
| 1.6.2 Вихідна інформація системи розпізнавання..... | 21 |
| 1.6.3 Математичне рішення задачі розпізнавання..... | 21 |
| 1.7 Алгоритм перетворення абсолютних параметрів мініюцій до відносних..... | 23 |
| 1.8 Алгоритм порівняння структурних представлень відбитків пальців..... | 27 |
| 1.9 Розробка підпрограми «OnVnClickedCompare»..... | 29 |
| 1.10 Розробка підпрограми «Convert»..... | 31 |
| 1.11 Розробка підпрограми «CompareWithBase»..... | 33 |
| 1.12 Розробка підпрограми «Compare»..... | 35 |
| 1.13 Опис контрольного прикладу..... | 37 |
| 1.14 Розробка керівництва програміста..... | 43 |
| 1.14.1 Характеристика програмного застосунку..... | 43 |
| 1.14.2 Звернення до програмного застосунку..... | 43 |

| | | | | |
|-----|------|----------|--------|------|
| | | | | |
| Зм. | Арх. | № докум. | Підпис | Дата |

КГ 05. 32 000. 00 ДП ПЗ

Арх.

5

| | | |
|--------|--|----|
| 1.14.3 | Вхідні і вихідні дані для програмного застосунку..... | 44 |
| 1.15 | Розробка керівництва оператора застосунку..... | 46 |
| 1.15.1 | Призначення програмного застосунку..... | 46 |
| 1.15.2 | Виконання програмного застосунку..... | 47 |
| 2 | Економічна частина..... | 48 |
| 2.1 | Резюме..... | 48 |
| 2.2 | Визначення трудомісткості розробки програмного забезпечення..... | 48 |
| 2.3 | Розрахунок ціни програмного продукту..... | 51 |
| 3 | Охорона праці..... | 53 |
| 3.1 | Аналіз та безпека умов роботи працівника на робочому місці..... | 53 |
| 3.1.1 | Вимоги до приміщення..... | 54 |
| 3.1.2 | Мікроклімат робочої зони програміста..... | 54 |
| 3.1.3 | Освітлення робочого місця..... | 54 |
| 3.1.4 | Вплив шуму на програміста..... | 55 |
| 3.1.5 | Виробничі випромінювання..... | 55 |
| 3.1.6 | Електробезпека. Статична електрика..... | 56 |
| 3.1.7 | Організація робочого місця..... | 56 |
| 3.2 | Пожежна безпека..... | 56 |
| | Висновки..... | 58 |
| | Перелік використаних джерел..... | 59 |
| | ДОДАТОК А. Фрагмент тексту модуля TAnalysePicture.cpp..... | 60 |

ВСТУП

Відбиток пальця утворює так звані папілярні лінії на гребеневих кристках шкіри, розділених борозенками. З цих ліній складаються складні узори (дуги, вузлові і завиткові), які володіють властивостями індивідуальності і неповторності, що дозволяє абсолютно надійно ідентифікувати особу. Хоча відсоток відмови в доступі уповноважених користувачів складає близько 3%, відсоток помилкового доступу – менше одного до мільйона. Переваги доступу по відбитку пальця – простота використання, зручність і надійність. Вірогідність помилки при ідентифікації користувача набагато менше порівняно з іншими біометричними методами [2].

Образ відбитку пальця, як правило, зберігається в двійковому коді, де кожен піксель малюнка описується 8 бітами, тобто 256 відтінками сірого кольору. У передових системах сканування цифровий образ відбитку обробляється за допомогою спеціального алгоритму поліпшення зображення. Цей алгоритм забезпечує зворотний зв'язок з датчиком для регулювання параметрів сканування. Коли датчик фіксує остаточний образ, алгоритм налаштовує контрастність і чіткість зображення відбитку для отримання найкращої якості.

Даний дипломний проект присвячено розробці програмних засобів для порівняння папілярних візерунків відбитків пальців.

Методи упізнання відбитку пальця засновані на порівнянні із зразками або на використанні характерних деталей. При упізнанні по деталях з образу виступають лише специфічні місця, де знайдена особливість (деталь). Вміст шаблону в цьому випадку складають відносні координати і відомості про орієнтацію деталі. Алгоритм розпізнавання відшукує і порівнює між собою відповідні деталі. Ні поворот відбитку пальця, ні його паралельне перенесення (зсув) не впливають на функціонування системи, оскільки алгоритм працює з відносними величинами. Для порівняння на бітовому образі знаходяться локальні особливості папілярного узору – мінюції. Алгоритм має проводити обхід по контуру гребенів для пошуку мінюцій.

| | | | | | | | |
|----|-----|----------|--------|-------|--|-------------------------|-----|
| | | | | | | КГ 05. 32 000. 00 ДП ПЗ | Лоз |
| Зм | Лоз | % датум. | Підпис | Датум | | | ? |

1 ТЕХНОЛОГІЧНИЙ РОЗДІЛ

Аналізатор відбитків пальців призначений для ідентифікації особи на основі біометричних параметрів, а саме папілярних візерунків. Система призначена для обробки графічних зображень відбитків. Система дозволяє порівняти декілька відбитків один з одним по виділеному локальному особливостям – мініціям і їх відносним параметрам (розташуванню одних мініцій щодо всіх інших), що гарантує незалежність порівняння від паралельного перенесення і обертання.

Програмний продукт зможе знайти вживання в різних прикладних системах, включаючи:

- 1) системи цивільної ідентифікації;
- 2) криміналістичні системи ідентифікації;
- 3) великомасштабні комерційні додатки.

Системи цивільної ідентифікації включають:

- паспорти водіїв;
- національні ідентифікаційні карти громадян;
- реєстрація виборців;
- реєстрація для соціальних програм;
- імміграційна реєстрація, візи;
- ідентифікація співробітників державних установ.

Криміналістичні системи ідентифікації включають:

- визначення, чи знаходиться даний громадянин в розшуку;
- визначення належності колишніх судимостей;
- реєстрація в'язнів/контроль доступу;
- мобільні і віддалені додатки;
- обробка відбитків пальців, отриманих з місць злочину.

Великомасштабні комерційні додатки включають:

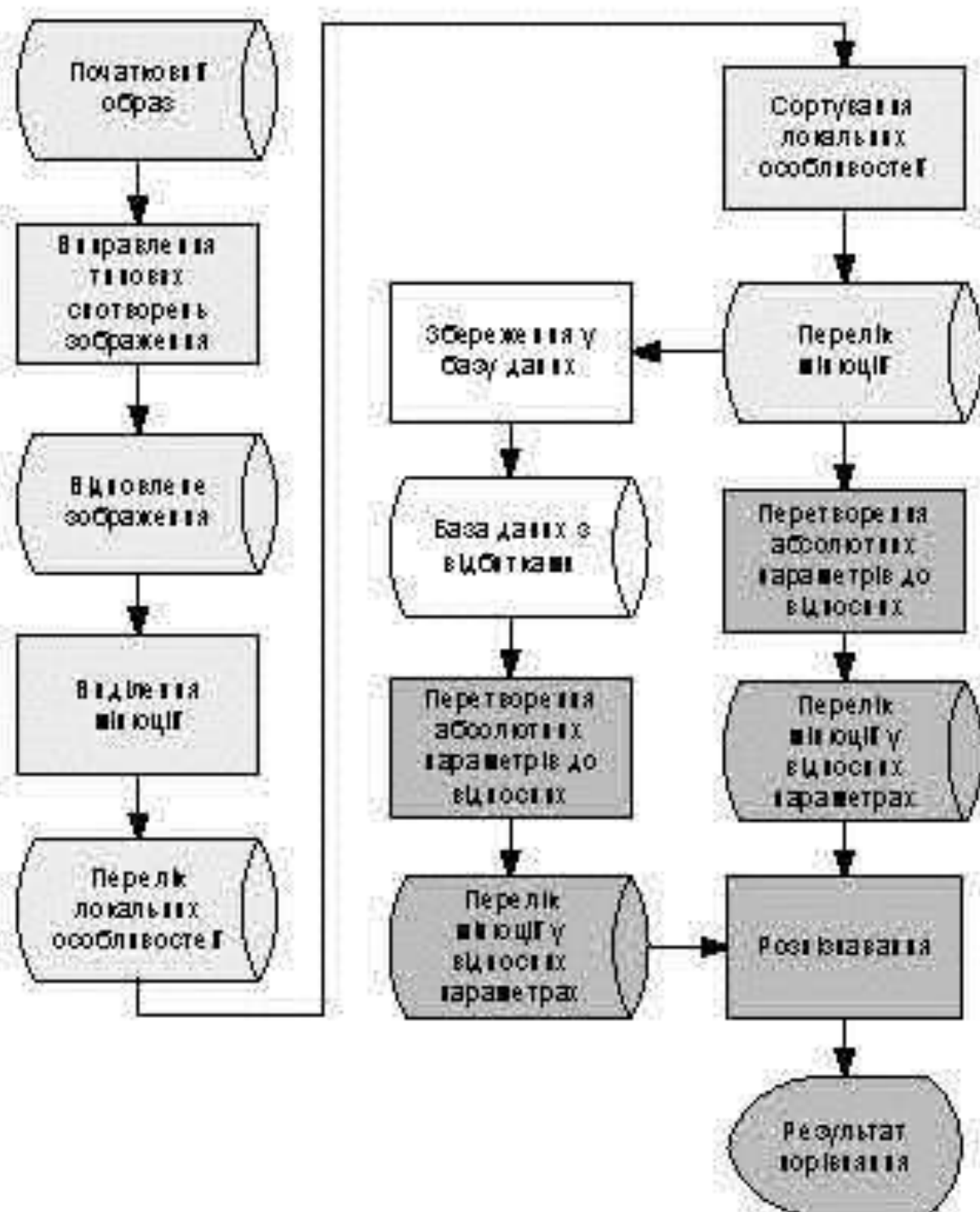
- доступ до Web-ресурсів, електронна комерція;
- доступ для користувачів і співробітників;
- фінансові сервіси, перевірка оплати;

| | | | | | | |
|------|------|----------|--------|------|-------------------------|------|
| | | | | | КГ 05. 32 000. 00 ДП ПЗ | Лист |
| | | | | | | 2 |
| Знак | Лист | № докум. | Підпис | Дата | | |

- доступ в будівлі і приміщення;
- програми лояльності.

1.1 Функціональна структура системи ідентифікації особи

Функціональна схема системи, призначеної для ідентифікації користувачів на основі відбитків пальців, приведена на рис. 1.1.



Рисунк 1.1. Функціональна схема системи ідентифікації особи

| | | | | |
|----|------|----------|--------|------|
| | | | | |
| Зм | Лист | № докум. | Підпис | Дата |

КГ 05.32.000.00 ДП ПЗ

Лист

4

На рис.1.1 зеленим кольором показана підсистема аналізу, а синім кольором – підсистема розпізнавання. Обробка зображень складається з наступних етапів:

- 1) введення зображення в систему ідентифікації особи по відбитках пальців;
- 2) у підсистемі аналізу зображення відбувається обробка растру з метою придушення шумів, а також усунення типових спотворень зображення, таких як розризи або злипання дуг папілярного візерунку;
- 3) у підсистемі аналізу зображення відбувається вицільлення локальних особливостей, таких як закінчення і роздвоєння, для подальшого розпізнавання відбитку;
- 4) у підсистемі розпізнавання відбувається перетворення абсолютних параметрів спеціальних крапок до відносних параметрів для запобігання впливу паралельного перенесення і повороту пальця при скануванні відбитку;
- 5) розпізнавання відбитку по базі з існуючими відбитками відбувається на основі відносних параметрів кожної крапки для кожного відбитку, що зберігається в базі.

1.2 Обґрунтування мети створення ідентифікації особи

На даний момент надійної інформаційної захист є одним з основних критеріїв, по яким мають відбиратися системи, призначені для зберігання і обробки важливої інформації. Це обумовлено існуючою впровадженістю несанкціонованого доступу в такі системи, оскільки вони мають широкую інформаційну взаємодію з суміжними системами управління через мережу INTRANET. Тому забезпечення інформаційно і безпеки має бути найважливішим етапом при їх розробці.

Захист на основі біометричних параметрів людського тіла, зокрема по відбитку пальця, володіє рядом безперечних переваг: простота використання, зручність і надійність. Весь процес ідентифікації займає мало часу і не вимагає

| | | | | | | | | | | |
|------|------|----------|--------|------|-------------------------|--|--|--|--|------|
| | | | | | | | | | | Лист |
| | | | | | | | | | | 10 |
| Знак | Лист | № докум. | Підпис | Дата | КГ 05. 32 000. 00 ДП ПЗ | | | | | |

зусиль від тих, хто використовує дану систему доступу. Дослідження також показали, що використання відбитку пальця для ідентифікації особи є найбільш зручним зі всіх біометричних методів. Вірогідність помилки при ідентифікації користувача в такий спосіб набагато менше порівняно з іншими біометричними методами. Крім того, пристрій ідентифікації по відбитку пальця не вимагає багато місця на клавіатурі або в механізмі.

В більшості випадків робота з важливою інформацією має на увазі також своєчасне ухвалення рішень і безперервне управління ходом виконання. У зв'язку з цим існує необхідність безперервного підтвердження особи (у випадку якщо людина з якоїсь причини покине своє робоче місце, то будь-хто в цей час зможе задавати команди телекерування або відповідальні команди). Таке підтвердження особи методом «єдиного входу в мережу» надати не може, а вводити пароль після кожної команди – обтяжливо.

Хоча на ринку існують готові системи, але на ряду зі своїми перевагами вони володіють рядом недоліків, таких як закритість початкового коду і алгоритму, а також висока ціна. Унаслідок цього є сенс в розробці системи, яка б надавала можливість розробникам мати готову базу для розробки власних проектів на основі біометричних технологій.

Метою даної роботи, зокрема, є реалізація такого перетворення зображення, при якому дані об розташування унікальних особливостей зберігаються якнайповніше і з найменшим змістом помилкової інформації.

Дана робота направлена на покращення розробки алгоритмів обробки зображень, спрощення аналізу експериментальних даних і виявлення спільних закономірностей.

1.3 Етапи роботи системи ідентифікації особи

Реалізація системи ідентифікації особи по папілярному знімку дозволить інтегрувати в єдиному інтерфейсі всі етапи обробки зображення відбитку пальця і порівняння його з іншими відбитками:

- 1) аналіз параметрів зображення, виявлення дефектів сканування і їх

| | | | | | | | | | |
|----|----|----------|--------|------|-------------------------|--|--|--|----|
| | | | | | | | | | ЛФ |
| | | | | | | | | | 11 |
| Зм | ЛФ | № докум. | Підпис | Дата | КГ 05. 32 000. 00 ДП ПЗ | | | | |

усунення;

- 2) виділення локальних особливостей – мініцій. Формування списку мініцій в абсолютних параметрах;
- 3) сортування списку абсолютних параметрів, виключення помилкових і ненадійних мініцій;
- 4) конвертація абсолютних параметрів у відносні, формування списку відносних параметрів;
- 5) установка системи допусків для обліку кореляції зображень;
- 6) облік всіх зареєстрованих відбитків;
- 7) розпізнавання відбитку за допомогою пошуку співпадаючих спеціальних крапок в базі з відбитками;
- 8) спосіб зберігання опису відбитків дозволяє застосовувати результат роботи програми для різних сфер діяльності.

1.4 Аналітичний огляд рішень для ідентифікації особи

Метод упізнання особи по відбитках пальців відомий досить давно і з появою електронно-обчислювальної техніки почали з'являтися програмні та апаратні рішення для аналізу і порівняння зображень.

Система ідентифікації особи по відбитках пальців призначена для роботи з цифровими зображеннями, отриманими за допомогою сканування. Отримання електронного представлення відбитків пальців з добре помітним папілярним візерунком – достатньо складне завдання.

На сьогоднішній момент можна виділити наступні види сканерів відбитків пальців по використуванню різних фізичних принципам:

- оптичні;
- кремнієві;
- ультразвукові.

Досить старою технологією сканування відбитку є оптична. Сканування відбитку пальця міні-камерами на ПЗЗ або КМОП-чипі дозволило істотно зменшити вартість систем ідентифікації. Але цей спосіб зняття відбитку стикається з деякими важко вирішуваними проблемами: отримуваний образ

| | | | | | | | | | |
|----|-----|----------|--------|------|-------------------------|--|--|--|-----|
| | | | | | | | | | 402 |
| | | | | | | | | | 12 |
| Зм | 402 | № докум. | Підпис | Дата | КГ 05. 32 000. 00 ДП ПЗ | | | | |

залежить від навколишнього освітлення, на кордонах образу можливі спотворення, датчик може бути відносно легко "обдурений" (дежкі дешеві датчики можна "обдурювати" друкованою копією). Залишаються проблеми і з розмірами сканера. Датчик не може бути менше, ніж фокусна відстань камери. Серед головних переваг оптичних систем – відносно низька ціна і практична незразливість до дії електростатичного розряду.

Відносно новою є технологія використання електромагнітного поля. Датчик випромінює слабкий електромагнітний сигнал, який слідує по гребенях і западинах відбитку пальця і враховує зміни цього сигналу для складання образу відбитку. Такий принцип сканування дозволяє проглядати малюнок шкіри під шаром омертвілих кліток, що приводить до добрих результатів при розпізнаванні блідих або стертих відбитків. Залишається проблема відсутності прийняттого співвідношення між розміром датчика і його роздільною здатністю.

Ще одна перспективна технологія – ультразвукова. Тривимірний ультразвуковий сканер вимірює перетнуту поверхню пальця свого роду радаром. Цей метод сканування може бути особливо зручний, наприклад, в охороні здоров'я. Він не вимагає торкання яких-небудь зчитувачих пристроїв датчика стерильними руками, а відбиток легко зчитується навіть через гумові або пластикові рукавички хірурга. Головна незручність ультразвукової технології – її висока вартість і тривалий час сканування.

Розглянемо найбільш характерні приклади використання розглянутих вище технологій для розпізнавання користувачів по популярному візерунку.

1.4.1 Біометричний термінал Bio Link

BioLink, провідний постачальник технологій забезпечення безпеки, проектує, проводить і продає передові біометричні продукти, засновані на принципі дактилоскопії. Пропоновані рішення складають основу для систем аутентифікації користувачів в комп'ютерних мережах, платформах електронної комерції і системах забезпечення безпеки фізичного доступу. BioLink пропонує гамму продуктів, заснованих на фірмових технологіях сканування відбитків пальців і обробки зображень, а також на алгоритмі ідентифікації кодин до

| | | | | | | | | | | |
|----|-----|----------|--------|------|-------------------------|--|--|--|--|-----|
| | | | | | | | | | | 402 |
| | | | | | | | | | | 13 |
| Зм | 402 | № докум. | Підпис | Дата | КГ 05. 32 000. 00 ДП ПЗ | | | | | |

багатвож», вирiшувачих багато iснуючих свого дня проблем безпеки.

BioLink BioTime – це система управління робочим часом, що є новітньою розробкою компанії BioLink.



Рисунок 1.2. Біометричний термінал BioLink FingerPass™

Система BioTime та біометричний термінал BioLink FingerPass (рис.1.2) спрощує звичайні задачі обліку і управління робочим часом і забезпечує простоту, легкість і зручність реєстрації приходу і відходу співробітників компанії. Крім того, система BioTime надає різні види звітів по запізненнях, недоробках і переробках співробітників, часі їх приходу і відходу, а також автоматизує створення таблиць обліку робочого часу.

Програмний сервер BioLink Authenticon Software Appliance (ASA) – це програмне забезпечення для порівняння шаблонів відбитків пальців BioLink. ASA об'єднує в собі паролний захист і клієнт-серверну аутентифікацію при вході в Windows, Novell і NFS при використанні однієї з самих актуальних на сьогоднішній день проблем захисту – позитивної ідентифікації користувачів корпоративної мережі. Сервер підтримує до 300 користувачів.

1.4.2 Клавіатура Microsoft IntelliMouse Explorer Fingerprint Reader

Лінійка продуктів Microsoft з використанням біометричних технологій – сканер відбитків пальців, клавіатура з вбудованим сканером (рис.1.3) і бездротовою оптичною мишкою з сканером в ладоні можуть бути:

| Знак | Код | № докум. | Підпис | Дата |
|------|-----|----------|--------|------|
| | | | | |

КГ 05. 32 000. 00 ДП ПЗ

Лист

14

- 1) зняття відбитку пальця при короткочасному докладанні пальця до сканера;
- 2) ведення менеджера паролів для веб-сервера інтерфейсів;
- 3) можливість ідентифікації особи для входу в систему одним торканням пальця.



Рисунок 1.3. Клавіатура Microsoft із вбудованим сканером відбитків пальців

Продукт підходить для використання з особистим ПК. Програмне забезпечення має дуже обмежену функціональність. Немає можливості отримати параметри відсканованого відбитку пальця, встановити додаткові дії в залежності від того, який палець був прикладений.

1.4.3 Смартфон з функцією розпізнавання відбитків пальців Samsung Galaxy S20

Смартфони S10 та S20 оснащені ультразвуковим сканером відбитків пальців, який розташований на передній частині екрану (рис.1.4). Відбитки пальців використовуються як для набору номера, так і для використання у мультимедійних додатках. При ввімкненні телефону відбувається сканування відбитку пальця. У разі тривалого невідання при розпізнаванні відбитку пальця пропонується ввести пароль. Сканер може погано розпізнати пальці, якщо вони занадто вологі або занадто сухі, наприклад, в дуже холодних умовах. Треба натиснути на екран так, щоб кінець пальця поширювався по широкій поверхні області розпізнавання відбитків пальців. Ультразвуковий сканер відбитків пальців знаходиться під дисплеєм.

| | | | | | | | |
|----|-----|----------|--------|------|--|-------------------------|-----|
| | | | | | | КГ 05. 32 000. 00 ДП ПЗ | Лоз |
| Зм | Лоз | № докум. | Підпис | Дата | | | 15 |



Рисунок 1.4. Смартфон Samsung Galaxy S20 із вбудованим сканером відбитків пальців

1.4.4 Флеш-накопичувач із USB-сканером відбитків пальців

Існують області діяльності, в яких конфіденційність інформації вкрай важлива. Тому час від часу з'являються продукти з посиленими системами захисту інформації – шифруванням і різними способами персонального доступу до даних. Саме такій флеш-накопичувач випустила компанія ChinaVasion (рис. 1.5). Пристрій має на корпусі сканер відбитків пальців, так що можливість використання накопичувача сторонніми особами повністю виключена.



Рисунок 1.5. Флеш-накопичувач із вбудованим сканером відбитків пальців

| | | | | | | | |
|----|-----|----------|--------|------|--|-------------------------|-----|
| | | | | | | КГ 05. 32 000. 00 ДП ПЗ | Лог |
| Зм | Лог | № докум. | Підпис | Дата | | | 16 |

Накопичувач здатний тримати в пам'яті до 10 різних відбитків (по одному на кожен палець), а також зникаючий пароль доступу. Корисною додатковою функцією пристрою є можливість запуску комп'ютера за допомогою сканування відбитку пальця.

1.5 Основні вимоги до системи ідентифікації особи

1.5.1 Критерії ефективності функціонування системи

Створення системи розпізнавання особи дозволить отримати нову можливість по підготовці зображень до структурного аналізу, розробити інструмент, поліпшувачий якість графічної інформації за рахунок зниження спотворень і шумів. Для оцінки ефективності роботи системи можна використовувати якість отримуваних на виході зображень і їх структурний опис, а також рівень правильного розпізнавання відбитків, про який можна судити по кількості відмов для правильного відбитку, і кількості входів для невірного відбитку. Розроблена система буде мати відкритий код, дозволить отримувати структурний опис папілярного візерунку і його порівняння з іншими. Алгоритм має підходити для роботи не лише із зображеннями відбитків пальців, але і для інших бігових зображень, таких як символічна інформація, шрифти і підписи.

Реалізація системи ідентифікації особи по відбитках дозволить інтегрувати в єдиному інтерфейсі всі етапи обробки зображення відбитку пальця і порівняння його з іншими відбитками:

- 1) модифікація зображення, вилучення спотворень;
- 2) вицілення локальних особливостей – мінциф, формування списку мінциф в абсолютних параметрах;
- 3) сортування списку абсолютних параметрів, виключення помилкових і ненадійних мінциф;
- 4) конвертація абсолютних параметрів у відносні, формування списку відносних параметрів;
- 5) установка системи допусків для обліку кореляції зображень;
- 6) порівняння одного відбитку з безліччю інших.

| | | | | | | |
|----|-----|----------|--------|------|-----------------------|-----|
| | | | | | КГ 05.32.000.00 ДП ПЗ | Лоз |
| | | | | | | 17 |
| Зм | Лоз | № докум. | Підпис | Дата | | |

1.5.2 Вимоги до структурного програмного забезпечення

Побудова системи ідентифікації особи по відбитках пальців передбачає модульну структуру. Спільний інтерфейс і можливість доступу до всіх модулів у складі системи повинна забезпечувати оболонка. З оболонки мають викликатися наступні модулі: підсистема аналізу зображення, підсистема порівняння одного відбитку з безліччю інших. Обмін даними між підсистемами має відбуватися через проект в рамках спільної оболонки. Підсистема аналізу зображення повинна забезпечувати можливість отримання основних статистичних характеристик папілярного візерунку по ключових ділянках. Підсистема передбачає наявність засобів для отримання явного образу відбитку пальця. Підсистема порівняння зображень відбитків служить для автоматизованого виявлення схожості різних зображень папілярного візерунку.

Система призначена для обробки бітових зображень. Унаслідок неточностей, шумів і апроксимацій, що вносяться устаткуванням (сканер або будь-який інший дискретизуючий графіку пристрій) в зображенні з'являються шуми різної природи. Система має дозволити частково позбавитися від цих спотворень. Основним видом інформації, що обробляється в системі ідентифікації особи, є графічна інформація в растровому представленні. Такий вид даних сприймається людиною безпосередньо і цілісно, тому необхідно забезпечити засоби наочної візуалізації зображень на різних етапах обробки.

1.5.3 Вимоги до програмних засобів розробки

Для реалізації і функціонування проекту необхідне загальносистемне програмне забезпечення: ОС Windows 7-10, в основі яких лежить ядро, що характеризується 32- або 64- розрядною обчислювальною архітектурою і повністю захищеною моделлю пам'яті, що забезпечує надійне обчислювальне середовище.

Розробка програмних засобів для порівняння папілярних візерунків відбитків пальців вестиметься з використанням середовища для розробки додатків Microsoft Visual Studio C++ 2019. Середовище розробки включає

| | | | | | | | | | | |
|----|-----|----------|--------|------|-------------------------|--|--|--|--|-----|
| | | | | | | | | | | 402 |
| | | | | | | | | | | 12 |
| Зм | 402 | № докум. | Підпис | Дата | КГ 05. 32 000. 00 ДП ПЗ | | | | | |

високопродуктивний 32- і 64-бітний компілятор, що дозволяє оптимізувати створений код. Microsoft Visual Studio C++ включає великий набір засобів, які підвищують продуктивність роботи програмістів і скорочують тривалість циклу розробки. Багатофункціональне інтегроване середовище розробки Microsoft Visual Studio C++ 2019 включає компілятор, що задовольняє стандарту ANSISO, вбудований дизайнер форм, багатий набір засобів для роботи з компонентами, інструмент Solution Explorer, менеджер проектів і відладчик. Зручність розробки і ефективність створених в даному середовищі розробки програм роблять Microsoft Visual Studio C++ оптимальним вибором для побудови системи розпізнавання користувача.

1.6 Розробка та опис функціональної структури системи розпізнавання

При торканні пальця до скануючого пристрою можливі зсув або поворот зображення відбитку пальця в порівнянні з тим, що вже зберігається в базі. Дані погрешності не повинні робити вплив на результат розпізнавання отриманого відбитку пальця. Для цього був розроблений алгоритм перетворення абсолютних параметрів мінівдій до відносних. Завдяки такому перетворенню вдається запобігти негативному впливу повороту і зсуву, і розпізнати відбиток, навіть якщо він обернений на 180°.

Представимо структурне представлення відбитку пальця у вигляді списку M , що містить параметри спеціальних крапок. Кожен з наборів параметрів є однією крапкою. Для приведення параметрів до відносних параметрів необхідно провести огляд і перетворення всіх крапок. Унаслідок еластичності шкіри і зростання людини відстань між крапками може змінитися, також крапки, що знаходяться ближче до краю відбитку можуть зміститися відносно інших крапок, що не повинне впливати на результат розпізнавання, проте різні крапки також не мають бути прийняті за одну. Для цього в підсистемі розпізнавання була розроблена система допусків при порівнянні двох відбитків. Значення допусків були набуті дослідним шляхом, так само як і умови збігу відбитків.

Таким чином, задача розпізнавання відбитку пальців по абсолютних

| | | | | | | | | | | |
|----|-----|----------|--------|------|-------------------------|--|--|--|--|-----|
| | | | | | | | | | | 402 |
| | | | | | | | | | | 19 |
| Зм | 402 | № докум. | Підпис | Дата | КГ 05. 32 000. 00 ДП ПЗ | | | | | |

параметрах мінюцій на зображенні може бути розбита на декілька підзадач:

- 1) розробка алгоритму, що забезпечує компенсацію впливу переміщення або повороту відбитку пальця;
- 2) розробка і реалізація системи допусків і критеріїв схожості при пошуку відповідного відбитку по існуючій базі відбитків;
- 3) порівняння мінюцій на відбитках пальців з використанням отриманих критеріїв і виявлення схожості відбитків за кількістю мінюцій, що збіглися.

1.6.1 Вхідна інформація для системи розпізнавання

Вхідною інформацією є список мінюцій в абсолютних параметрах, розташований в пам'яті, який містить всі необхідні параметри. Кожен елемент масиву містить всі необхідні параметри мінюцій: координати цілого типу – 2×4 байта, кут напрямку 8 байт, тип крапки 1 байт, тому спільний розмір масиву має бути кратний $2 \times 4 + 8 + 1 = 17$ байт.

$$M = \begin{bmatrix} X_i & Y_i & \alpha_i & T_i \\ \dots & \dots & \dots & \dots \\ X_k & Y_k & \alpha_k & T_k \end{bmatrix},$$

де $X_i, Y_i, (i \in \overline{1, k})$ – координати мінюцій на растровому представленні зображення відбитку пальців, цілі числа, величина яких обмежена розміром зображення відбитку у пікселях;

$\alpha_i, (i \in \overline{1, k})$ – напрямок передбачуваного продовження гребеня на відбитку пальців в точці типу закінчення і напрямлення зліпання для крапки типу роздвоєння, дробове число, величина якого змінюється $(- \pi; + \pi)$;

$T_i, (i \in \overline{1, k})$ – тип виявленої крапки, бітове поле, набуває 2 значення «роздвоєння» = 0 (false) і «закінчення» = 1 (true);

k – кількість мінюцій на досліджуваному відбитку.

Також у якості вхідної інформації для даної задачі є матриці, що містять список мінюцій в абсолютних параметрах, які зберігаються в базі даних відбитків та містять всі необхідні для розпізнавання параметри, знайдені при

попередніх розрахунках параметрів відбитків пальців. У кожному рядку масиву міститься опис розташування однієї крапки на зображенні відбитку, а також її напрямок, тип і видимість. У таблиці 1.1 приведений формат елементу матриці.

Таблиця 1.1

| Поле | Формат | Опис |
|-------|--------|--|
| x | Ціле | Абсциса мінюції на растрі |
| y | Ціле | Ордината мінюції на растрі |
| alpha | Ціле | Орієнтація мінюції на растрі |
| type | Байт | Тип мінюції. Роздвоєння або закінчення |
| show | Байт | Видимість крапки |

1.6.2 Вихідна інформація системи розпізнавання

Вихідною інформацією для даної підсистеми є список, що містить відбитки з бази даних, в яких була виявлена схожість з оброблюваним відбитком. Значення, що говорять про те, що відбитки збіглися, також набуває дослідним шляхом.

У кожному рядку масиву списку міститься опис відбитку, його ім'я, кількість крапок, що збіглися при розпізнаванні і ступінь схожості. У таблиці 1.2 приведений формат рядка.

Таблиця 1.2

| Поле | Формат | Опис |
|-------|---------|---|
| Name | Рядкове | Ім'я відбитку (найменування файлу, з якого були узяті параметри) |
| Count | Ціле | Кількість мінюцій відбитків, що збіглися при порівнянні |
| Pct | Дрб | Ступінь схожості відбитків у відсотках, набуває значень (0, 100]. |

1.6.3 Математичне рішення задачі розпізнавання

Перетворення відношних параметрів до абсолютних параметрів компенсує вплив паралельного перенесення і повороту відбитків пальців при скануванні. Перетворення відбувається для кожної виявленої мінюції щодо всієї решті мінюцій на зображенні. На рис. 1.6 представлено зображення відбитку пальця з виявленими на ньому мінюціями.



Рисунок 1.6. Прямий відбиток

Лініями представлено відносне розташування крапок щодо центральної. На рис. 1.7 представлено зображення відбитку того ж пальця, але поверненого відносно першого на 45 градусів. Лініями представлено відносне розташування крапок щодо центральної.



Рисунок 1.7. Повернений відбиток

Для визначення ступеня схожості оброблюваного відбитку з відбитком, що зберігається в базі, була розроблена система допусків і критеріїв схожості відбитків. Унаслідок еластичності шкіри і нецільного притиснення пальця при знятті відбитку деякі мінюції на новому відбитку можуть зміститися відносно

| | | | | | | |
|----|-----|----------|--------|------|-------------------------|-----|
| | | | | | КГ 05. 32 000. 00 ДП ПЗ | Лоз |
| Зм | Лоз | № докум. | Підпис | Дата | | 22 |

мінвцій, що зберігаються в базі. Таким чином, крапка вважається за ту, що збіглася, якщо її місце розташування щодо іншої крапки входить в певну область довкола первинного положення. На рис. 1.8 представлена область, в якій положення крапки відносно іншої збіглася.

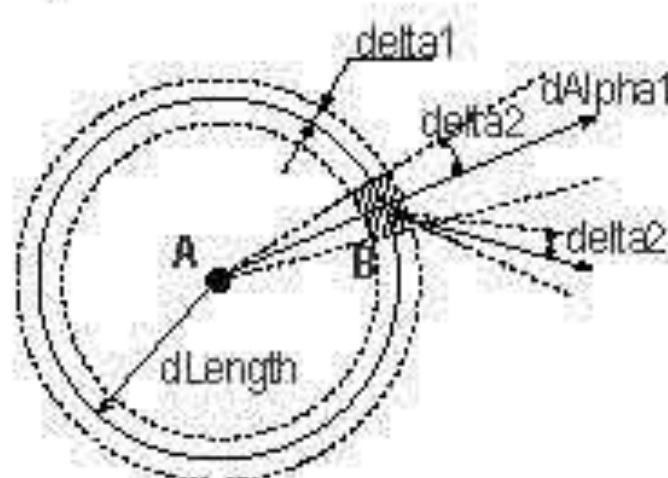


Рисунок 1.8. Область допуску

Для обчислення ступеня схожості двох відбитків відбувається порівняння кожної мінвції на обох відбитках. Список мінвцій, що збіглася, виходить за допомогою відсівання з первинного списку тих мінвцій, які не були виявлені в другому списку, тобто довкола даної крапки не було виявлено жодної іншої крапки, що потрапила в область допуску.

Відбитки вважаються за схожі, якщо кількість крапок, що збіглася, перевищує певний поріг схожості.

Робота підсистеми реалізується наступними етапами:

- перетворення абсолютних параметрів мінвцій до відносних параметрів;
- розробка системи допусків для порівняння мінвцій;
- порівняння структурних представлень відбитків пальців.

Функціональна схема підсистеми представлена на рис. 1.9.

1.7 Алгоритм перетворення абсолютних параметрів мінвцій до відносних

При реалізації даного алгоритму використовується масив інформації, сформований на попередньому етапі обробки зображення відбитку пальця в підсистемі аналізу зображення. Для обробки масивів використовується

| | | | | | | |
|----|------|----------|--------|------|-------------------------|------|
| | | | | | КГ 05. 32 000. 00 ДП ПЗ | Лист |
| Зм | Лист | № докум. | Підпис | Дата | | 23 |

двонаправлений список. Списком є вектор: $S = |s_1, s_2, \dots, s_n|$, у дану інформаційну структуру можна заносити і вилучувати елементи з будь-якого боку.

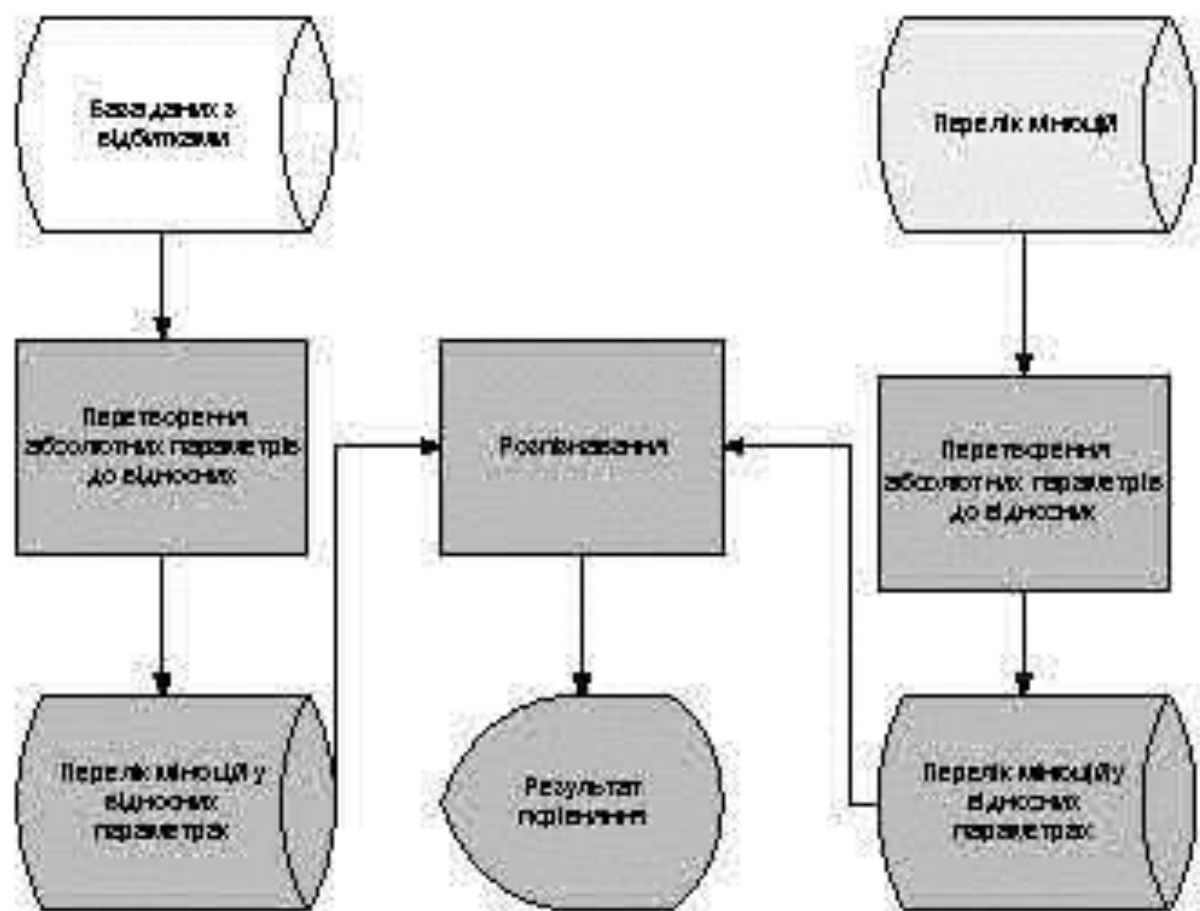


Рисунок 1.9. Функціональна схема підсистеми розпізнавання

Вихідною інформацією для даного завдання є масив розмірності $(k \times k)$ з порожніми діагональними елементами, що містить списки міноцій і їх взаємне розташування один з одним.

Таблиця 1.3

| Поле | Формат | Опис |
|-----------|---------|--|
| l_{ij} | Ціле | Відстань між i і j крапками |
| $A1_{ij}$ | Дробове | Кут між власним напрямком точки та її напрямком з точки i у точку j . $A1_{ij} \in [0, 2 \cdot \pi]$ |
| $A2_{ij}$ | Дробове | Кут між власними напрямками точок i і j . $A2_{ij} \in [0, 2 \cdot \pi]$ |

Кожен елемент масиву містить опис точки, відстань до другої точки, кут між власним напрямком точки і напрямком у іншу точку, кут між власними напрямками двох точок. У таблиці 1.3 наведений формат елемента масиву запису.

Узагальнений математичний опис перетворення наведений вище.

Перетворення відбувається для кожної виделеної міжлиці щодо решки всіх крапок по наступних формулах:

$$dLength_{ij} = \sqrt{(x_i - x_j)^2 + (y_i - y_j)^2}$$

$$dAlpha1_{ij} = alpha_{ij} - alpha_i$$

$$dAlpha2_{ij} = alpha_j - alpha_i$$

де i, j – міжлиці,

$dLength_{ij}$ – відстань між точками i і j ,

$dAlpha1_{ij}$ – кут між напрямком точки i та напрямком на точку j ,

$dAlpha2_{ij}$ – кут між напрямком точки i та точки j ,

$Alpha_i$ – кут вектора самої точки,

$Alpha_j$ – кут вектора напрямку від точки i до точки j .

На рис. 1.10 представлено розташування точки i щодо точки j зі всіма отриманими параметрами.

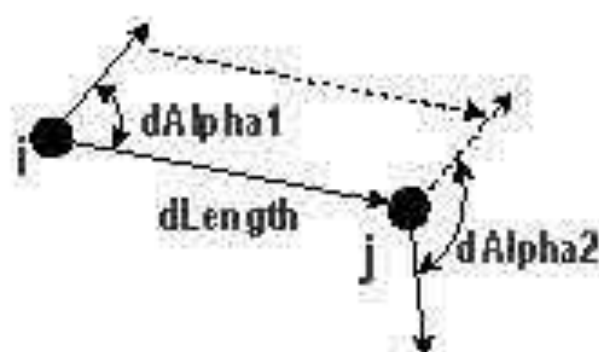


Рисунок 1.10. Відносні параметри

Алгоритм знаходження габаритних розмірів і кількості крапок в безперервній області є таким:

1. Очистити список $RelFing$ з відносними параметрами відбитку.
2. Якщо список $AbsFing$ порожній, перейти до пункту 20.
3. Для кожного елемента $legA1$ списку $AbsFing$ виконати пункти 4 – 19.

| | | | | |
|------|-----|----------|--------|------|
| | | | | |
| Знак | Код | № докум. | Підпис | Дата |

КГ 05. 32 000. 00 ДП ПЗ

4. Очистити список: listDots з відносними параметрами крапки.
5. Для кожного елементу iterA2 списку AbsFing виконати пункти 5 – 17.
6. Якщо iterA2 == iterA1, перейти до пункту 5.
7. $l = |\text{GetS}(\text{iterA1} \rightarrow \text{coord}, \text{iterA2} \rightarrow \text{coord})|$.
8. $\text{vecAB} = \text{GetAlpha}(\text{iterA2} \rightarrow \text{coord}, \text{iterA1} \rightarrow \text{coord})$.
9. $\text{tmpa} = \text{iterA1} \rightarrow \alpha - \text{vecAB}$.
10. Якщо ($\text{tmpa} < 0$), перехід до п. 11, інакше перехід до п. 12.
11. $\text{tmpa} = 2 * \text{M_PI} + \text{tmpa}$.
12. $a1 = \lfloor \text{tmpa} * 180.0 / \text{M_PI} + 0.5 \rfloor$.
13. $\text{tmpa} = \text{iterA2} \rightarrow \alpha - \text{iterA1} \rightarrow \alpha$.
14. Якщо ($\text{tmpa} < 0$), перехід до п. 15, інакше перехід до п. 16.
15. $\text{tmpa} = 2 * \text{M_PI} + \text{tmpa}$.
16. $a2 = \lfloor \text{tmpa} * 180.0 / \text{M_PI} + 0.5 \rfloor$.
17. Додати в список: listDots параметри чергової крапки – l, a1, a2, перейти до п. 5.
18. Відсортувати список: listDots.
19. Занести відносні параметри точки listDots в список: відбитку RelFing, перейти до п. 3.
20. Кінець.

У наведеному алгоритмі та використовуються наступні умовні позначення:

RelFing – список мініцій у відносних параметрах;

AbsFing – список мініцій в абсолютних параметрах;

listDots – відносні параметри крапки;

iterA1 – досліджувана крапка в абсолютних параметрах;

iterA2 – крапка в абсолютних параметрах, відносно якої обчислюється точка iterA1;

l – відстань між точками iterA1 і iterA2;

GETS – функція обчислення відстані;

|| – округлення до найближчого цілого;

vecAB – вектор між напрямками точки iterA1 і iterA2;

| | | | | | | |
|----|-----|----------|--------|------|-------------------------|-----|
| | | | | | КГ 05. 32 000. 00 ДП ПЗ | Лоз |
| Зм | Лоз | № докум. | Підпис | Дата | | 26 |

GetAlpha – функція обчислення кута між векторами;

a1 = кут між напрямком самої крапки і напрямком на іншу крапку;

a2 = кут між напрямками крапок.

1.8 Алгоритм порівняння структурних представлень відбитків пальців

Даний алгоритм призначений для порівняння двох відбитків, один з яких виходить на попередньому етапі, а другий зчитується з файлу бази даних. Обидва відбитки представлені у вигляді відносних параметрів.

При реалізації алгоритму використовуються відносні параметри мінвцій, отримані в результаті перетворення абсолютних параметрів мінвцій до відносних, що описано вище. Інформація про необхідні параметри мінвцій міститься в списку *img*, кожна запис якого має структуру, приведену у табл. 1.3.

Результатами рішення є список відбитків з бази даних, структурне представлення яких збігається з досліджуванним відбитком або схоже з ним.

Для обчислення ступеня схожості двох відбитків відбувається порівняння кожної мінвції на обох відбитках:

M – список мінвцій на оброблюваному образі,

k – кількість мінвцій на оброблюваному образі,

$M = \{m_1, m_2, \dots, m_k\}$,

N – список мінвцій одного відбитку з бази відбитків,

l – кількість мінвцій на відбитку з бази відбитків,

$N = \{n_1, n_2, \dots, n_l\}$.

Список мінвцій, що збіглися, виходить за допомогою відсівання з первинного списку тих мінвцій, які не були виявлені в другому списку:

$S = \{m_i, \text{де } i \in (1..k), P(m_i, N)\}$

$r = |S|$ – кількість крапок, що збіглися.

$P(m_i, N)$ – вважається, що крапка збіглася, якщо відносно неї знайдено необхідну кількість задовольняючих умов крапок.

Відбитки вважаються за схожі, якщо кількість крапок, що збіглися, перевищує поріг схожості (r):

| | | | | | | | | | |
|----|-----|----------|--------|------|-------------------------|--|--|--|-----|
| | | | | | | | | | дог |
| | | | | | | | | | 27 |
| Зм | дог | № докум. | Підпис | Дата | КГ 05. 32 000. 00 ДП ПЗ | | | | |

$r \geq p$ – умова збігу,

$r < p$ – умова незбігу.

Алгоритм знаходження статистичних характеристик колірного кластера є таким:

1. CONFIRM_VAL = 9; DELTA_L = 10.0; DELTA_A = 10.0; confirmDot = 0;
shortNeedVal = $\lfloor \min(\text{this->size(), \text{img.size()}) / 3.0 + 0.5 \rfloor$;
2. Для кожної крапки на вхідному tekFing відбитку виконати пункти 3-14;
3. Для кожної крапки на відбитку з бази baseFing виконати пункти 4-14;
4. confirmVal = 0;
5. Для кожної відносної точки tekIter для точки tekFing виконати пункти 6-13;
6. Пошук першої відповідної по відстані крапки в списку baseFing для tekIter;
7. Якщо крапка не знайдена, перейти до п. 5;
8. Для кожної відносної точки baseIter для крапки baseFing виконати п. 9;
9. Якщо точка baseIter не задовольняє умовам з потрібністю, то перехід до п. 8;
10. confirmVal = confirmVal + 1;
11. Якщо confirmVal \leq needVal, то перехід до п. 5;
12. Видалити точку baseFing з подальшого перебору, оскільки вона вже збіглася;
13. confirmDot = confirmDot + 1; перехід до п. 3;
14. Кінець.

У наведеному алгоритмі та використовуються наступні умовні позначення:

confirmVal – кількість зв'язаних СТ, що збіглися з поточною СТ;

confirmDot – кількість СТ, що збіглися (спеціальних крапок);

min – функція з 2 вхідними параметрами, результатом якої є мінімальне з вхідних значень;

CONFIRM_VAL = 9;

DELTA_L = 10.0;

DELTA_A = 10.0;

|| – округлення до найближчого цілого;

| | | | | | | | | | |
|----|------|----------|--------|------|-------------------------|--|--|--|------|
| | | | | | | | | | Лист |
| | | | | | | | | | 28 |
| Зм | Лист | № докум. | Підпис | Дата | КГ 05. 32 000. 00 ДП ПЗ | | | | |

tekFing – список крапок у відносних параметрах на вхідному відбитку;

baseFing – список крапок у відносних параметрах на відбитку з бази;

tekFleg – список крапок відносно досліджуваної (її відносні параметри) для крапки на вхідному відбитку;

baseFleg – список крапок відносно досліджуваної (її відносні параметри) для крапки відбитку з бази.

1.9 Розробка підпрограми «OnVnClicked Compare»

Підпрограма OnVnClickedCompare призначена для обробки події на діалоговому вікні – натиснення кнопки «Порівняти». Підпрограма проводить перевірку, чи був проведений аналіз відбитку пальця. Результат пошуку зберігається у файл. Текст підпрограми приведений у додатку. Підпрограма OnVnClickedCompare призначена для

- 1) перевірки вхідного відбитку на аналіз;
- 2) збереження результату у файл звіту.

Структура TCompareFing призначена для зберігання інформації про порівнювані відбитки пальців. Структура TCompareFing оголошена таким чином:

```
struct TCompareFing
{
    double val;
    short cDot;
    short nFing;
    CString name;
    list<TPair AbsDot> dots;
    list<TPair Sur> surdots;
};
```

де: val – рівень схожості відбитків,

cDot – кількість крапок, що збіглися,

nFing – номер відбитку,

| | | | | | | | | | | |
|----|-----|----------|--------|------|-------------------------|--|--|--|--|-----|
| | | | | | | | | | | 402 |
| | | | | | | | | | | 29 |
| Зм | 402 | № докум. | Підпис | Дата | КГ 05. 32 000. 00 ДП ПЗ | | | | | |

- name – файл відбитку,
- dots – крапки, що збіглися на відбитках,
- surdots – оточення на однакових відбитках.

Структура TAbsFing – список крапок в абсолютних параметрах, отриманий у результаті роботи підсистеми аналізу. Структура TAbsFing оголошена таким чином:

```
class TAbsDot
{
public:
CPoint coord;
double alpha;
bool type;
bool show;
};
```

- де: coord – координати,
- alpha – напрямок в крапці,
- type – тип крапки (1 – завінчення, 0 – роздвоєння),
- show – видимість крапки (1 – видима, 0 – прихована).

Вхідні дані для даної підпрограми представлені:

TAbsFing fing – список крапок в абсолютних параметрах, отриманий в результаті роботи підсистеми аналізу. Кожен елемент списку містить всі необхідні параметри для обробки і перетворення в підсистемі розпізнавання. Результат роботи підпрограми зберігається у файл звіту.

У даній підпрограмі використовуються наступні підпрограми:

1. PrintReport – виведення результату пошуку у файл звіту;
2. CompareWithBase – функція порівняння поточного відбитку з відбитками з бази даних;
3. Convert – перетворення абсолютних параметрів до відносних.

Схема підпрограми «OnEnClickedCompare» приведена на рис. 1.11.

| | | | | | | |
|------|------|----------|--------|------|-------------------------|------|
| | | | | | КГ 05. 32 000. 00 ДП ПЗ | Лист |
| | | | | | | 30 |
| Знак | Лист | № докум. | Підпис | Дата | | |

1.10 Розробка підпрограми «Convect»

Підпрограма Convect призначена для реалізації алгоритму перетворення відбитку з абсолютних параметрів до відносних. Підпрограма порівнює кожен крапку на вхідному відбитку з рештою всіх крапок на відбитку.

Результат перетворення повертається як вихідний параметр функції.

Підпрограма Convect виконує:

- 1) перетворення відбитку з абсолютних параметрів до відносних;
- 2) відсортування списку відносних параметрів для збільшення швидкості розпізнавання.

Структура TRelFing призначена для зберігання інформації про відбитки пальців у відносно параметрах. Структура TRelFing оголошена таким чином:

```
class TRelFing: public list<listTReIDot>
typedef list<TReIDot> listTReIDot;
class TReIDot
{
public:
short l,a1,a2;
TAbsDot absDot;
}
```

де: l - відстань між крапками,

a1 - кут між напрямком крапки A і напрямком A->B,

a2 - кут між напрямком крапки B і напрямком A,

absDot - абсолютні параметри (необхідні для відображення на екрані крапок, що збіглися),

TAbsFing fing - список крапок в абсолютних параметрах, отриманий в результаті роботи підсистеми аналізу.

Кожний елемент списку містить всі необхідні параметри для обробки і перетворення в підсистемі розпізнавання.

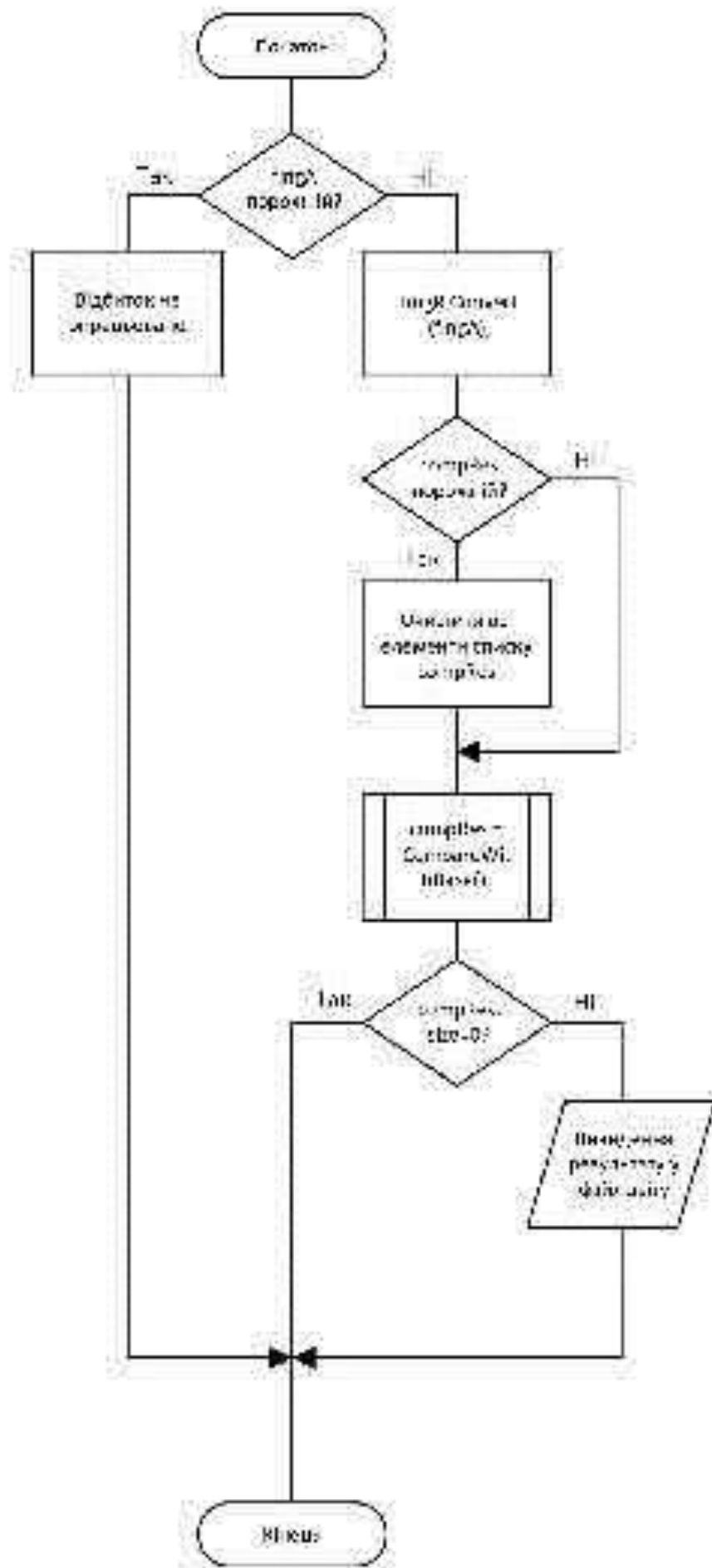


Рисунок 1.11. Блок-схема підпрограми OnEnClickedCompare

```

class TAbsFing:public list<TAbsDot>
class TAbsDot
{
public:
CPoint coord;
double alpha;
booltype;
boolshow;
};

```

де: coord – координати,
alpha – напрямок в крапці,
type – тип крапки (1 – закінчення, 0 – роздвоєння),
show – видимість крапки (1 – введена, 0 – прихована).

Вхідні дані для даної підпрограми представлені у вигляді посилання на список точок відбитку пальця в абсолютних параметрах – TAbsFing & fing. Вихідні дані представлені у вигляді вказівника – TRelFing.

У даній підпрограмі використовуються наступні підпрограми:

- 1) GetAlpha – отримання напрямку з крапки A в крапку B [-pi; pi];
- 2) GETS – отримання відстані між двома крапками.

Схема підпрограми «Convert» приведена на рис. 1.12.

1.11 Розробка підпрограми «Compare With Base»

Підпрограма Compare With Base призначена для завантаження даних з файлу бази даних, перетворення їх до відносних параметрів.

Підпрограма порівнює кожен відбиток з бази даних з відбитком, відкритим для дослідження. Результат повертається як вихідний параметр функції.

Структура TRelFing призначена для зберігання інформації про відбиток пальця у відносних параметрах. Структура TRelFing оголошена таким чином:

| | | | | | | | |
|------|------|----------|--------|------|--|-------------------------|------|
| | | | | | | КГ 05. 32 000. 00 ДП ПЗ | Лист |
| | | | | | | | 33 |
| Знак | Лист | № докум. | Підпис | Дата | | | |

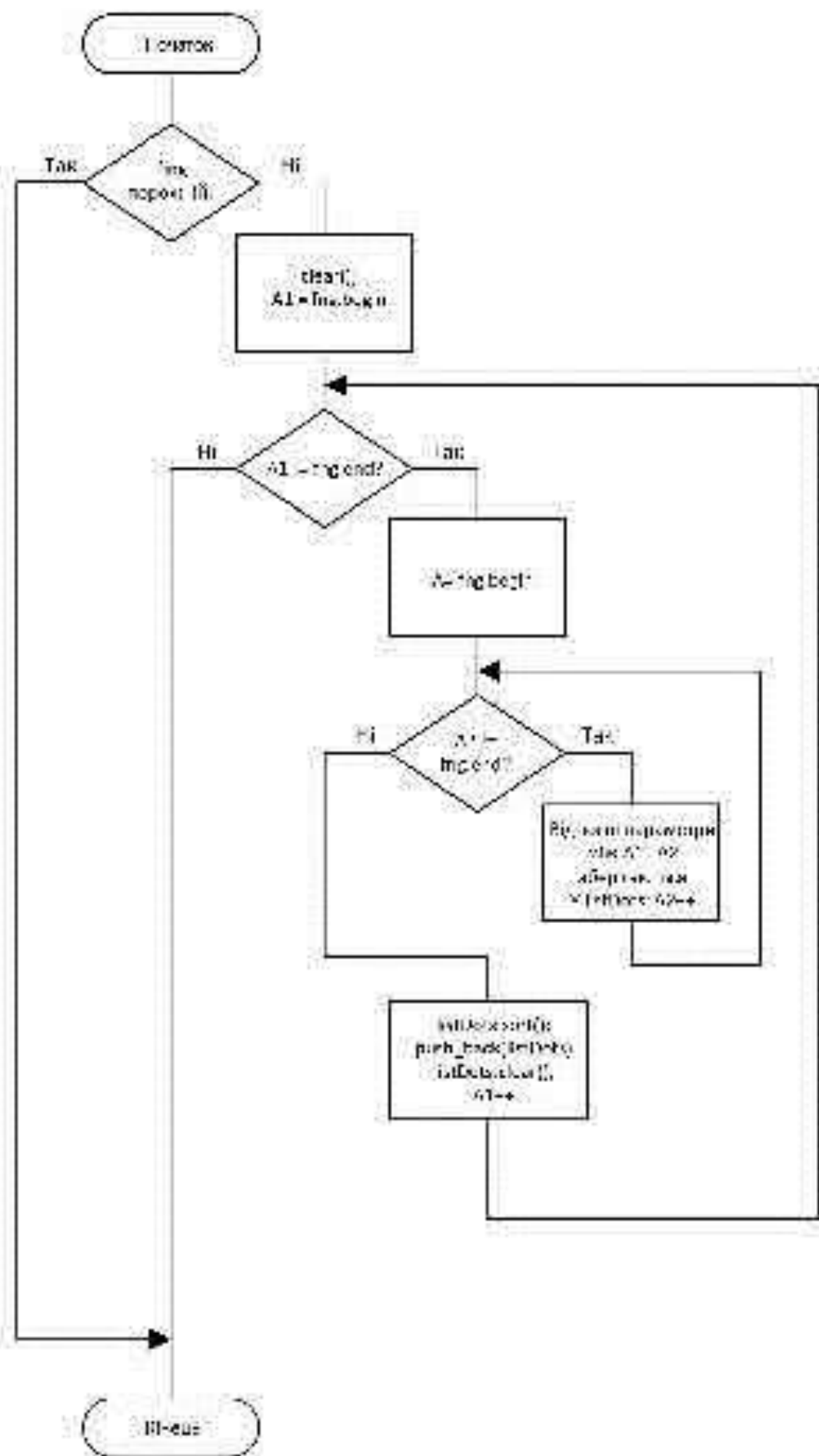


Рисунок 1.12. Блок-схема підпрограми Convert

| | | | | |
|----|-----|----------|--------|------|
| | | | | |
| Зм | Кор | № докум. | Підпис | Дата |

КГ 05. 32 000. 00 ДП ПЗ

```

class TRelFing: public list<listTReIDot>
typedef list<TReIDot> listTReIDot;
class TReIDot
{
public:
short l,a1,a2;
TAbsDot absDot;
}

```

де: l - відстань між крапками,

a1 - кут між напрямком крапки A і напрямком A->B,

a2 - кут між напрямком крапки B і напрямком A,

absDot - абсолютні параметри (необхідно для відображення на екрані крапок, що збіглися).

Вхідні дані для даної підпрограми представлені:

TRelFing fingR - досліджуваний відбиток у відносних параметрах;

Base - зміст бази даних з відбитками.

Вихідні дані для даної підпрограми представлені:

list<TCompareFing> - список, що містить результати порівняння відбитків для кожного відбитку з бази даних з досліджуваним відбитком.

У даній підпрограмі використовуватимуться наступні підпрограми:

- 1) LoadFing - завантаження відбитку з бази даних,
- 2) Compare - порівняння двох відбитків.

Схема підпрограми «Compare WithBase» приведена на рис. 1.13.

1.12 Розробка підпрограми «Compare»

Підпрограма Compare призначена для порівняння двох поданих на вхід відбитків. Підпрограма реалізує задачу пошуку співпадаючих відбитків по базі даних, порівнює кожен крапку на вхідному відбитку з кожною крапкою на другому відбитку. Результат повертається як вихідний параметр функції.

Підпрограма Compare виконує:

| | | | | | | | | | | |
|----|-----|----------|--------|------|-------------------------|--|--|--|--|-----|
| | | | | | | | | | | 402 |
| | | | | | | | | | | |
| Зм | 402 | № докум. | Підпис | Дата | КГ 05. 32 000. 00 ДП ПЗ | | | | | 35 |

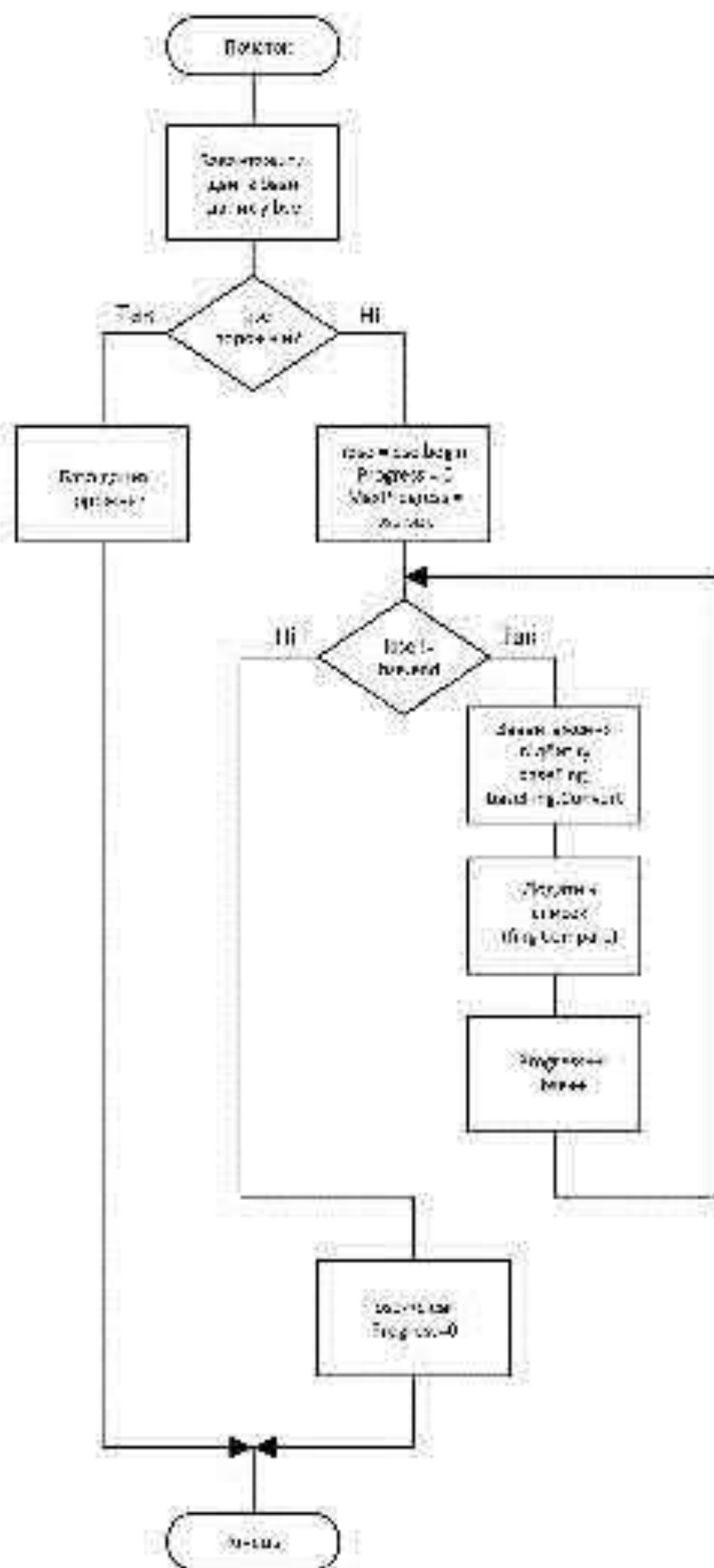


Рисунок 1.13. Блок-схема підпрограми Compare With Base

| | | | | |
|-----|------|-------|--------|------|
| | | | | |
| Зм. | Кор. | Змін. | Підпис | Дата |

КГ 05.32.000.00 ДП ПЗ

- 1) порівняння двох відбитків, обчислення ступеня схожості;
- 2) реалізацію алгоритму розпізнавання відбитку.

Вхідні дані для даної підпрограми представлені:

`TRelFing &fing` – посилання на список точок відбитку пальця у відносних параметрах,

`This` – покажчик на список точок другого відбитку пальця у відносних параметрах.

Вихідні дані для даної підпрограми представлені:

`TCompareFing` – результат порівняння двох відбитків.

Схема підпрограми «Compare» приведена на рис. 1.14.

1.13 Опис контрольного прикладу

Основною метою роботи програми є пізнання особи по відбитках пальців на основі порівняння структурного представлення папілярних візерунків. Контрольний приклад повинен містити велику кількість тестових відбитків пальців, при цьому відбиток одного і того ж пальця має бути представлений як мінімум в двох екземплярах для порівняння їх між собою.

Для тесту використовувалося близько 50 відбитків різних людей і різного віку. На рис. 1.15, 1.16, 1.17 приведено декілька зображень папілярного візерунку, які передбачається порівнювати між собою і іншими відбитками в базі даних відбитків. Дані зображення отримані за допомогою чорного тонеру та аркуша білого паперу, після чого відбитки були відскановані і збережені у вигляді *.bmp файлів на комп'ютері. Отримані таким чином відбитки мають невисоку якість, тому можна повністю переїхати всі етапи роботи програми.

На рис. 1.15, 1.16 представлені відбитки одного і того ж пальця, а значить, в результаті роботи програми вони повинні збігтися. Рис. 1.17 – це відбиток іншого пальця, ніж попередні три відбитки. Підсистема розпізнавання в якості вхідних параметрів приймає результат роботи системи аналізу зображення. На рис. 1.18 показано оброблений відбиток А1, на рис. 1.19 – А2, на рис. 1.20 – В.

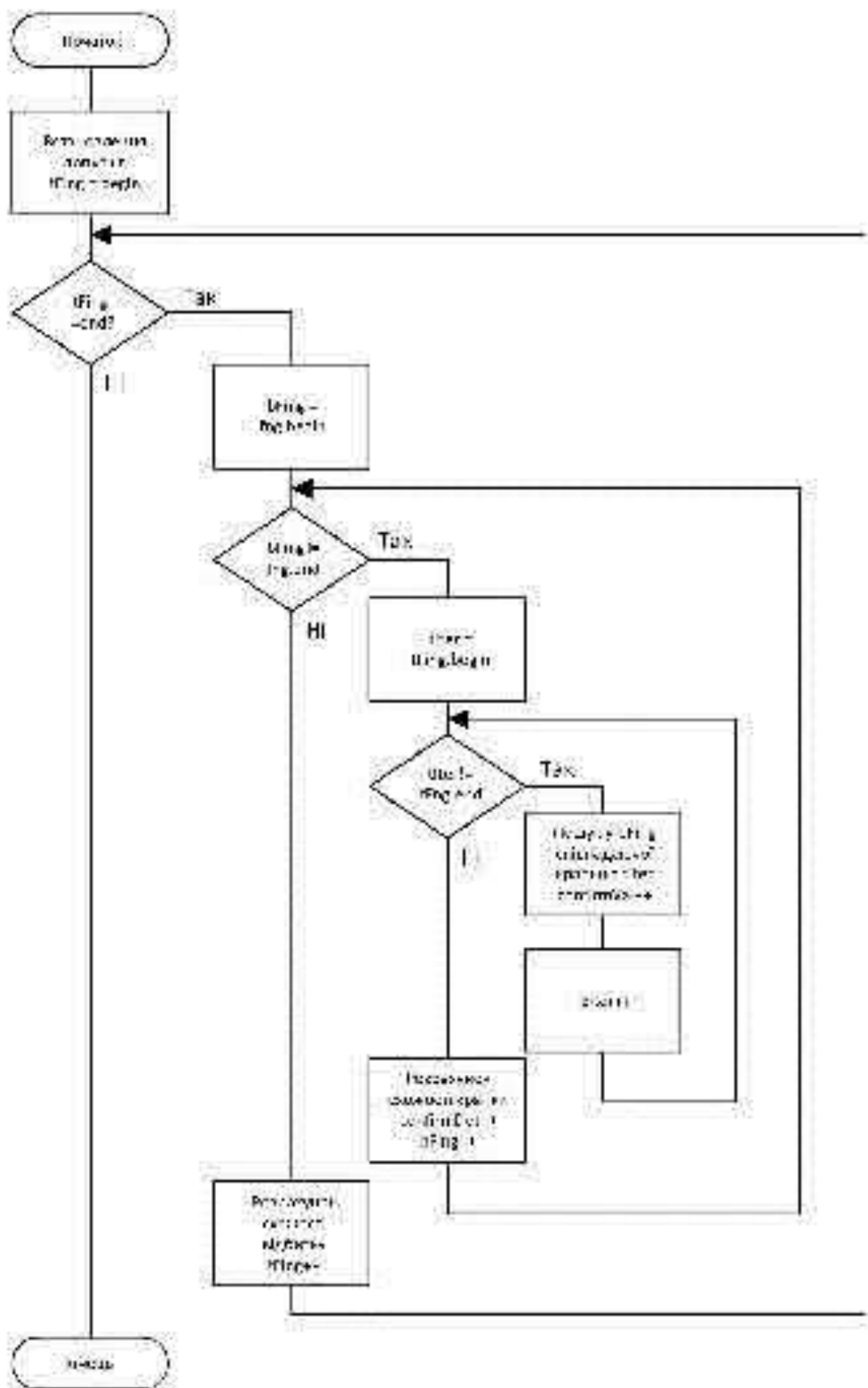


Рисунок 1.14. Схеми підпрограми Сопраге

| | | | | |
|----|------|----------|--------|------|
| | | | | |
| Зм | Лист | № докум. | Підпис | Дата |

КГ 05. 32 000. 00 ДП ПЗ



Рисунок 1.15. Початковий образ А1



Рисунок 1.16. Початковий образ А2



Рисунок 1.17. Початковий образ В

| | | | | |
|----|------|----------|--------|------|
| | | | | |
| Зм | Лист | № докум. | Підпис | Дата |

КГ 05. 32 000. 00 ДП ПЗ

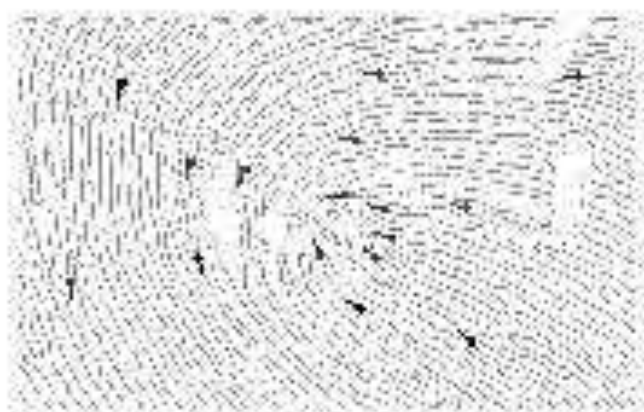


Рисунок 1.18. Обработанный образ А1



Рисунок 1.19. Обработанный образ А2

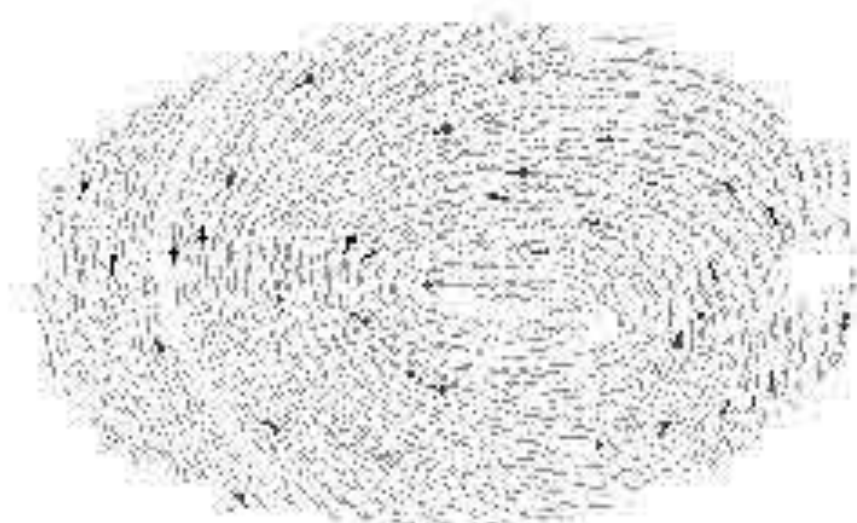


Рисунок 1.20. Обработанный образ В

| | | | | | | |
|-----|------|----------|---------|------|-------------------------|------|
| | | | | | КГ 05. 32 000. 00 ДП ПЗ | Лист |
| Зна | Лист | № докум. | Подпись | Дата | | 40 |

При знятті відбитків для перевірки коректності роботи програми їх зображенням давалися імена, що однозначно ідентифікують палець, щоб при порівнянні по імені файлу можна було визначити чи правильно пройшло розпізнавання.

Ім'я файлу має формат:

Ім'я або номер – п'ядина, з якої знімали відбиток;

L або R – права або ліва рука;

1,2,3,4 або 5 – палець на руці – від великого до мізничя;
символ «_»;

номер – з кожного пальця знімалося декілька відбитків.

Приклад: відбиток з ім'ям файлу 2g1_0.bmp повинен збігатися з відбитками 2g1_1.bmp і 2g1_2.bmp, але повинен відрізнятися від відбитку 2g2_0.bmp або 3g1_0.bmp.

Для випробування програмного забезпечення системи на вхід були подані описані вище тестові образи. Випробування проводилися згідно керівництва програми та і керівництва оператора, приведені в розділі 3. В результаті були отримані структурні описи представлені на рис. 1.18, 1.19, 1.20.

Отримані структурні представлення точно описують вхідні образи, що не важко перевірити візуальним порівнянням з вхідними образами. Статистично було виявлено, що на відбитках є близько 40-50 мінюцій, ця величина може змінюватися залежно від розмірів пальця. На тестових образах знайдено 19, 40, 37 відповідно.

У додатку можна побачити що відбитки A1 (1.bmp), A2 (1R1 Rotate2.bmp) схожі між собою і відбитком 1R1_1.bmp, що є вірним, оскільки всі вони є образами великого пальця правої руки однієї і тієї ж п'ядини. Відбиток B (3I2_2.bmp) не збігається ні з одним з A1 і A2, але збігається з 3I2_1.bmp, що є також вірним результатом, це відбитки вказаного пальця правої руки іншої п'ядини.

Тестування показало, що розроблене програмне забезпечення здатне порівнювати і відшукувати схожі відбитки, а значить є і можливість визначити

лю динсу, який належить, оброблювані відбиток. Отримані результати збігаються з очікуваними і збігаються з ручним порівнянням.

Окрім об'єктного опису папілярного візерунку відбитків і подальшого розпізнавання особи по відбитках пальців, реалізований в програмі алгоритм придатний для опису і розпізнавання символічної інформації і підписів. Для розпізнавання інших, відмінних від відбитків образів, в програмі досить змінити параметри виділення локальних особливостей і прибрати декілька етапів. Етап відновлення растру для символів не годиться, оскільки він спеціально розроблений для папілярного візерунку. Програма, після невеликого коректування параметрів аналізу і порівняння, була налагоджена для розпізнавання символів алфавіту.

Для перевірки був введений в базу даних набір символів змальованих на рис. 1.21, який в подальшому порівнювався з алфавітом на рис. 1.22.

А Б В Г Д Е Ж З И К Л М Н О
 П Р С Т У Ф Х Ц Ч Ш Щ Ъ Ы Ь
 Э Ю Я

Рисунок 1.21. Алфавіт для бази даних

А А Б Б В В Г Г Д Д Е Е Ж
 Ж З З И И К К Л Л М М Н Н О
 О П П Р Р С С Т Т У У Ф Ф Х
 Х Ц Ц Ч Ч Ш Ш Щ Щ Ъ Ъ Ы Ы Ь Ь
 Э Э Ю Ю Я Я

Рисунок 1.22. Алфавіт для порівняння

1.14 Розробка керівництва програмою

1.14.1 Характеристика програмного застосування

Програма FingerprintAnalyser вимагає для свого функціонування наявність в проекті файлів, що містять растрові представлення папілярного візерунку.

До складу програми входять наступні файли, необхідні для її функціонування:

- 1) FingerprintAnalyser.exe – виконуваний файл, що містить основний інтерфейс програми;
- 2) MFC – бібліотеки для підтримки віконного середовища;
- 3) blank.bmp – порожнє зображення;
- 4) report.txt – файл звіту, в який записуються всі результати порівняння;
- 5) sav/*.*.sav – файли із структурним представленням відбитків;
- 6) sav/fingbase base – база даних відбитків;
- 7) dll бібліотеки MFC.

Програма є інтерактивною, вимагає чової взаємодії з користувачем, тому час виконання окремих етапів обробки не перевищує 0.5с при використанні відповідних технічних засобів.

1.14.2 Звернення до програмного застосування

Для запуску програми необхідно переконатися в тому, що необхідні бібліотеки MFC знаходяться в тому ж каталозі, що і виконуваний файл або в каталозі Windows/System32.

Для коректної роботи програми вона повинна знаходитися в каталозі, до якого є права на читання і запис.

Для запуску підсистеми необхідно в оболонці системи на головному екрані натиснути на кнопку «Аналіз» – для порівняння потрібного відбитку з набором наявних в базі даних, або «Запам'ятати в базу» – для внесення вказаних відбитків до бази даних.

| | | | | |
|----|------|----------|--------|------|
| | | | | |
| Зм | Лист | № докум. | Підпис | Дата |

КГ 05. 32 000. 00 ДП ПЗ

Лист

43

1.14.3 Вхідні і вихідні дані для програмного застосування

Вхідними і вихідними даними для програми є файл бази даних відбитків `sav/ingbase.bse`. Структура файлу:

```

xsc (kol) (dpi) (date) (description)
xsc (kol) (dpi) (date) (description)
xsc (kol) (dpi) (date) (description)

```

У кожному рядку файлу бази даних відбитків міститься опис одного відбитку. У таблиці 1.4 приведений формат запису у файлі бази даних.

Таблиця 1.4

| Поле | Формат | Опис |
|-------------|--------|--|
| xsc | Рядок | шлях до образу, з якого була отримана інформація |
| kol | Ціле | кількість крапок |
| dpi | Ціле | якість початкового відбитку (dot per inch) |
| date | Дата | дата відбитку |
| description | Рядок | опис |

Вихідними даними для програми є файл `sav/*sav` із структурним представленням, що містить статистичні характеристики мінюцій на відбитку. Цей файл має наступний формат:

```

x в alpha type [show]
x в alpha type [show]
x в alpha type [show]

```

У кожному рядку файлу структурного представлення міститься опис однієї мінюції. У таблиці 1.5 приведений формат рядка із структурним описом мінюції в абсолютних параметрах.

Таблиця 1.5

| Поле | Формат | Опис |
|-------|--------|--|
| x | Ціле | Абсциса мінюції на растрі |
| y | Ціле | Ордината мінюції на растрі |
| alpha | Ціле | Орієнтація мінюції на растрі |
| type | Байт | Тип мінюції. Роздвоєння або закінчення |

Крім того, вихідною інформацією для даної підсистеми є файл звіту герогізі, що містить відбитки з бази даних, в яких була виявлена схожість з оброблюваним відбитком. У кожному рядку звіту міститься опис відбитку, його

ім'я, кількість крапок, що збіглися при розпізнаванні і ступінь схожості. В таблиці 1.6 приведений формат даних файлу звіту. На рис. 1.23 наведений приклад файлу звіту. Файл report.txt має наступний формат:

```
----- Name, -----
Count1 Pct1 Source1
Count2 Pct2 Source2
Countn Pctn Sourcen
```

Таблиця 1.6

| Поле | Формат | Опис |
|--------|--------|--|
| Name | Рядок | Ім'я відбитку |
| Count | Ціле | Абсциса мініції на растрі |
| Pct | Ціле | Ступінь схожості відбитків у відсотках, набуває значень [0, 100] |
| Source | Рядок | Шлях до файлу, з якого були узяті параметри |
| NN | Ціле | Кількість відбитків наявних в базі даних |

Повідомлення, що видаються програмістові, приведені в таблиці 1.7.

Фрагмент код програми на мові програмування C++ наведений у Додатку А.

Таблиця 1.7

| Повідомлення | Для програміста |
|---|--|
| Відбиток не оброблений | Перш ніж запуснути порівняння не обхідно провести аналіз |
| База даних порожня | Необхідно заповнити базу даних відбитків |
| Відбиток не придатний для збереження в базу | На відбитку або дуже мало виявлено мініцій (менше 10), або дуже багато (більше 80) |
| Жодного відбитку немає | В результаті пошуку не збіглось жодного відбитку |
| Неможливо створити базу даних з відбитками | Можливо немає права запис або вільного місця на носіїві |
| Неможливо створити файл | Можливо немає права запис або вільного місця на носіїві |
| Неможливо відкрити файл | Можливо немає права читання або не існує запроцьованого файлу на носіїві |
| Виявлена схожість | У базі даних були виявлені відбитки, що мають схоже представлення |

1.15.2 Виконання програмного застосунку

Інтерфейс програми представлений на рис. 1.24.

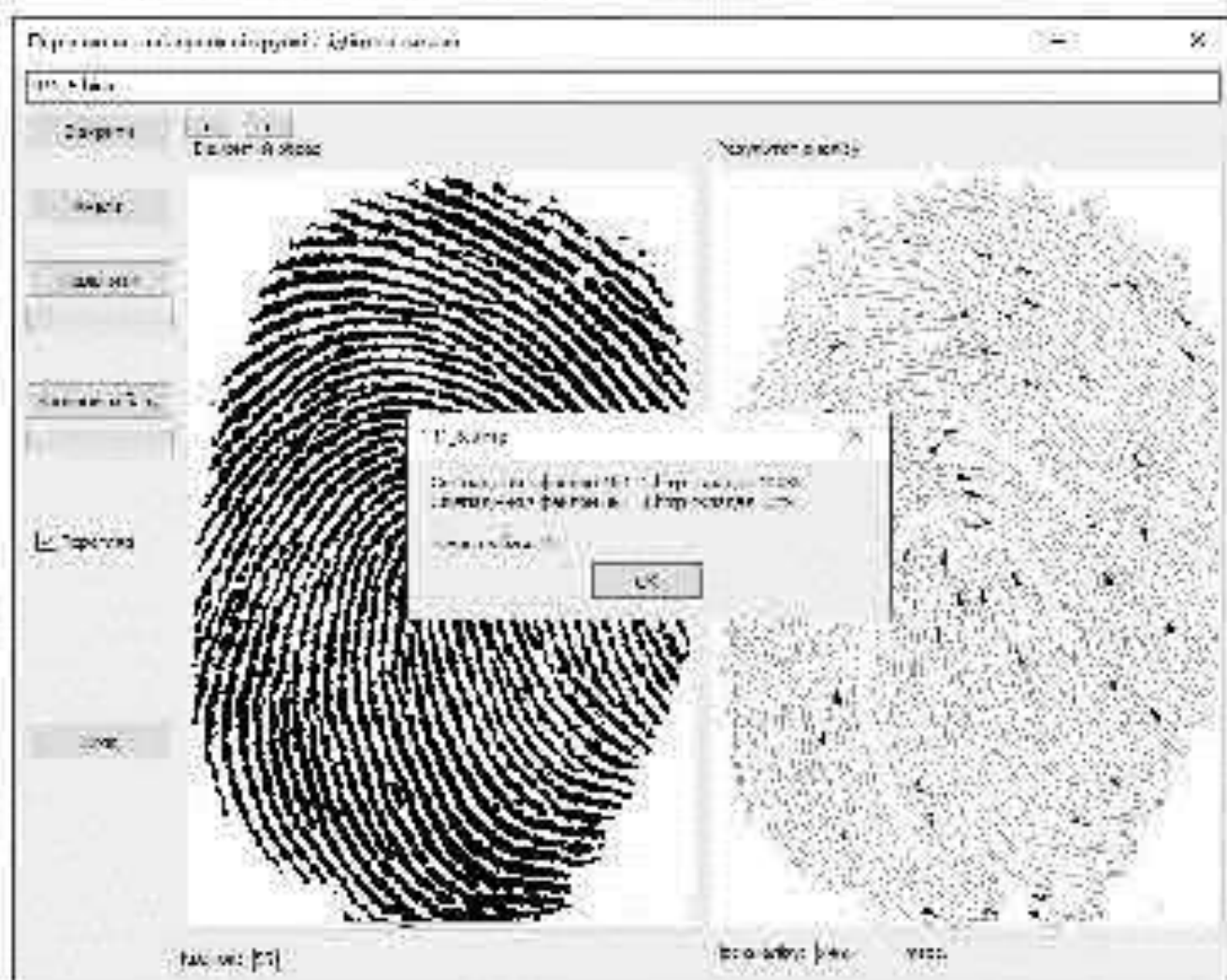


Рисунок 1.24. Інтерфейс програмного застосунку FingerAnalyser

На формі програми у візуальному вигляді представляється, після відкриття через пункт «Відкрити», початкове зображення, після натиснення на кнопку «Аналіз», скоректоване зображення і візуальне представлення структурного виду відбитку. Після цього натисненням на кнопку «Порівняти» можна відшукати в базі схожі відбитки.

При кожному аналізі відбитку створюється файл з його структурним описом. Для того, щоб помістити відбиток в базу даних відбитків, для подальшого порівняння з нею, необхідно натиснути на кнопку «Запам'ятати в базу». Для запам'ятовування в базу можна вибрати групу файлів для застосування операції запису в базу даних для усіх обраних файлів.

2 ЕКОНОМІЧНА ЧАСТИНА

2.1 Резюме

В даному дипломному проекті розроблені програмні засоби для порівняння популярних візерунків відбитків пальців

Ефективність кожного програмного продукту визначається його якістю та ефективністю процесу розробки. Якість програмного продукту визначається наступними складовими: з точки зору користувача; з позиції використання ресурсів; виконання вимог до програмного забезпечення.

Оцінка якості програмного продукту з точки зору користувача визначається необхідним на стадії функціонування розміром оперативної пам'яті комп'ютера, витратами машинного часу, пропускнув спроможністю каналів передачі даних. Оцінка якості програмного продукту включає визначення трудомісткості і вартості його створення.

2.2 Визначення тривалості розробки програмного забезпечення

Тривалість розробки програмного продукту залежить від його обсягу, трудомісткості розробки, кваліфікації виконавців, а також планованих термінів, визначених умовами ринку. Методом структурної аналогії по відповідних каталогах аналогів програмного забезпечення визначається обсяг програмних засобів, у тисячах умовних машинних команд програми аналога.

Таблиця 2.1. Каталог аналогів

| Найменування ПП | Обсяг функцій ПП - $V_{\text{ф}}$, ум. машинних команд |
|--|---|
| 1. ПП автоматизованого розрахунку | 1300 - 8600 |
| 2. ПП загальної математики і ПП імітаційного моделювання | 1800 - 8800 |
| 3. ПП організації обчислювального процесу | 13000 - 10200 |

У таблиці 2.1 представлені аналоги програмного забезпечення, функції яких, у більшому або меншому ступені, виконує розроблений програмний продукт (для обраного варіанта виділено сірим кольором).

Після вибору аналогу програмного продукту, що містить V_0 в умовних машинних командах, трудомісткість визначається на основі табл. 2.2

Таблиця 2.2. Трудомісткість виконання програмного продукту

| Обсяг ПП, тис. умов. машинних команд | Норма часу, люд.дод. |
|--------------------------------------|----------------------|
| 100 | 229 |
| 200 | 244 |
| 300 | 262 |

На підставі отриманого значення, по довіднику, визначається укрупнена норма часу на розробку аналога програмного забезпечення (коректується поправочним коефіцієнтом враховуючої умови розробки ПП, тобто в умовах комп'ютера, $K_k=0,7+0,8$): $T_{ap} = 229 \times 0,8 = 183$ (люд.додні).

Трудомісткість програмного продукту визначається по кожному етапу розробки окремо на підставі трудомісткості аналога з урахуванням складності розробки, ступеня новизни і ступеня використання в розробці стандартних модулів на підставі формул:

$$T_{n1} = T_{ap} \times L_1 \times K_n; \quad T_{n2} = T_{ap} \times L_2 \times K_n; \quad T_{n3} = T_{ap} \times L_3 \times K_n \times K_r; \quad (2.1)$$

Для розрахунку необхідні наступні коефіцієнти:

L_i – питома вага i -го етапу розробки (див. табл. 2.2); K_n – поправочний коефіцієнт, що враховує ступінь новизни (див. табл. 2.3); K_r – поправочний коефіцієнт, що враховує ступінь використання в розробці типових програм (див. табл. 2.4).

Таблиця 2.2. Значення питомих коефіцієнтів трудомісткості стадій в загальній трудомісткості розробки ПП

| Код стадії | Ступінь новизни | | |
|--------------|-----------------|------|------|
| | А | Б | В |
| ТЗ (L_1) | 0,15 | 0,12 | 0,12 |
| ПП (L_2) | 0,16 | 0,15 | 0,11 |
| РП (L_3) | 0,55 | 0,58 | 0,61 |

Для даного варіанта виділено сірим кольором.

Таблиця 2.3. Значення поправочного коефіцієнта, що враховує ступінь новизни

| Код ступеня новизни | Ступінь новизни | Значення K_n |
|---------------------|---|----------------|
| A | Принципово нове ПЗ | 1,5 – 1,2 |
| B | Розвиток визначеного параметричного ряду ПЗ | 1,0 – 0,8 |
| B | ПЗ, що має аналог | 0,7 |

Таблиця 2.4. Значення коефіцієнта ступеня використання в розробці типових програм

| Ступінь охоплення реалізованих функцій розробленого ПЗ типовими програмами, % | Значення K_r |
|---|----------------|
| 60 і вище | 0,6 |
| 40-60 | 0,7 |
| 20-40 | 0,8 |
| До 20 | 0,9 |

Для даного варіанта виділено сірим кольором.

Тепер розраховуємо трудомісткість по кожному етапу окремо:

Трудомісткість технічного завдання

$$T_{\text{тз}} = T_{\text{ар}} * L_1 * K_n = 183 * 0,12 * 0,7 = 15,4 \quad (\text{люд.додин}) \quad (2.2)$$

Трудомісткість розробки технічного проекту

$$T_{\text{тп}} = T_{\text{ар}} * L_2 * K_n = 183 * 0,11 * 0,7 = 14,09 \quad (\text{люд.додин}) \quad (2.3)$$

Трудомісткість розробки робочого проекту

$$T_{\text{рп}} = T_{\text{ар}} * L_3 * K_n * K_r = 183 * 0,61 * 0,7 * 0,7 = 54,7 \quad (\text{люд.додин}) \quad (2.4)$$

Для подальших розрахунків визначається кількість папера, витраченого на кожен етап: технічне завдання $N_{\text{тз}} = 2$ (стр.), розробка ТП $N_{\text{тп}} = 20$ (стр.), розробка робочого проекту $N_{\text{рп}} = 18$ (стр.), позитивальна записка відповідно $N_{\text{пз}} = 49$ (стр.)
Розрахунок зведений у таблицю 2.5.

| | | | | | | | |
|----|------|----------|--------|------|--|-------------------------|------|
| | | | | | | КГ 05. 32 000. 00 ДП ПЗ | Лист |
| Зм | Лист | % заг.м. | Підпис | Дата | | | 50 |

На підставі отриманих даних по окремих статтях витрат складена калькуляція планової собівартості в цілому програмного продукту за формою.

Таблиця 2.8. Розрахунок статей витрат планової собівартості

| Стаття витрат | Значення, грн. | Формула розрахунку |
|---|----------------|---|
| 1. Матеріали | 44,5 | $B_{м}$ (див. табл. 2.7) |
| 2. Основна заробітна плата | 9023 | $Z_{о}$ (див. табл. 2.6) |
| 3. Додаткова заробітна плата | 1353 | $Z_{д} = 0,15 \times Z_{о} = 0,15 * 9023$ |
| 4. Відрахування до єдиного фонду соціального внеску | 1282 | $B_{есв} = 0,22 \times (Z_{о} + Z_{д}) = 0,22 * (9023 + 1353)$ |
| 5. Накладні витрати | 2706 | $B_{нк} = 0,3 \times Z_{о} = 0,3 * 9023$ |
| 6. Поверх собівартість | 14408 | $C_{ном} = B_{м} + Z_{о} + Z_{д} + B_{есв} + B_{нк} = 44,5 + 9023 + 1353 + 1282 + 2706$ |

Розмір прибутку, що включається в ціну, визначаємо по наступній формулі:

$$\Pi = (C_{о} * P) / 100 = (14408 * 13) / 100 = 1873 \text{ грн.} \quad (2.5)$$

де P – плановий рівень рентабельності (10-15%).

Оптова ціна (кошторисна вартість) визначається по формулі:

$$C_{о} = C_{н} + \Pi = 14408 + 1873 = 16281 \text{ грн.} \quad (2.6)$$

Податок на додану вартість визначаємо по наступній формулі:

$$\text{ПДВ} = 0,2 * C_{о} = 0,2 * 16281 = 3256 \text{ грн.} \quad (2.7)$$

Виходячи з отриманих даних, ціна реалізації розробленого програмного продукту на основі наступної формули, становитиме:

$$C_{р} = C_{о} + \text{ПДВ} = 16281 + 3256 = 19537 \text{ грн.} \quad (2.8)$$

3 ОХОРОНА ПРАЦІ

Питання охорони праці людини необхідно вирішувати на всіх стадіях трудового процесу незалежно від виду професійної діяльності. Забезпечення безпечних і здорових умов праці в значній мірі залежить від правильної оцінки небезпечних, шкідливих виробничих факторів.

Однакові по складності зміни в організмі людини можуть бути викликані різними причинами. Це можуть бути фактори виробничого середовища, надмірне фізичне і розумове навантаження, нервово-емоційна напруга, а також різне сполучення цих причин.

При виконанні робіт на робочому місці програміста-розробника потрібно дотримуватись встановлених вимог безпеки праці, а саме нормативно-правового акту з охорони праці (НПА ОП 0.00-7.15-18) «Вимог щодо безпеки та захисту здоров'я працівників під час роботи з екранними пристроями», а також НПА ОП 0.00-1.28-10 "Правила охорони праці під час експлуатації електронно-обчислювальних машин", затверджені наказом Державного комітету України з промислової безпеки, охорони праці та гірничого нагляду від 26.03.2010 № 65.

У даному розділі ДП вирішується питання охорони праці програміста на стадії розробки нових програмних засобів для папілярних візерунків відбитків пальців.

3.1 Аналіз та безпека умов роботи працівника на робочому місці

Аналіз умов праці показує, що у приміщенні лабораторії на програміста можуть негативно впливати наступні фізичні та психофізіологічні фактори: підвищена або знижена температура повітря робочої зони; підвищена або знижена вологість повітря; недостатня освітленість робочого місця; підвищений рівень шуму на робочому місці; підвищена іонізація повітря; підвищений рівень електромагнітних випромінювань; нервово-психічні перевантаження (розумова перенапруга, перенапруга аналізаторів); фізичні перевантаження (одноманітна поза викликає статичну втому). Рекомендації, щодо усунення шкідливих

| | | | | | | |
|----|-----|----------|--------|------|-----------------------|-----|
| | | | | | КГ 05.32.000.00 ДП ПЗ | ЛФТ |
| Зм | ЛФТ | № докум. | Підпис | Дата | | 53 |

факторів або максимальне зменшення їх впливу на працівника наведеного у роботі:

- Для зменшення втоми очей рекомендується використання правильного освітлення - гарне природне освітлення, у темний час доби лампа повинна освітлювати тільки кімнату, але не екран монітора - це допоможе уникнути відблисків, що ускладнюють роботу

- Для того, щоб зменшити шкідливий вплив незручної пози та довгого знаходження у сидючому положенні, необхідно правильно підібрати робочі меблі. Вона допоможе зберегти правильне положення тіла під час роботи за комп'ютером і зменшити навантаження на м'язи.

- До рекомендацій стосовно зменшення навантаження на нервову систему відносяться прогулянку по свіжому повітрі, спілкування з людьми у реальному світі та також потрібно робити перерви при роботі з комп'ютерною технікою.

3.1.1 Вимоги до приміщення

Приміщення, в якому працює програміст, має загальну площу 20 м², висоту стелі 3 м. У приміщенні знаходяться 7 робочих місць з ПК. Слід відзначити, що площа одного робочого місця оператора ПК не повинна бути меншою за 6м², а об'єм не менший за 20м³, тобто площі та об'єму даного приміщення не вистачає для розташування 7 робочих місць операторів ПК.

3.1.2 Мікроклімат робочої зони програміста

Робота програміста за енергоінтратами відноситься до категорії легких робіт Іа, Іб, тому повинні дотримуватися наступні вимоги ДСН 3.3.6.042-99:

- оптимальна температура повітря - 22°С (допустима - 20-24°С);
- оптимальна відносна вологість - 40-60% (допустима - не більш 75%);
- швидкість руху повітря не більш 0,1 м/с.

Ці вимоги виконується у даному проекті.

3.1.3 Освітлення робочого місця

В приміщенні, де використовується праця на комп'ютері, наявні елементи природного та штучного освітлення.

| | | | | | | | | | |
|----|-----|-----------|--------|------|-------------------------|--|--|--|-----|
| | | | | | | | | | 402 |
| | | | | | | | | | 54 |
| Зм | 402 | % дотрим. | Підпис | Дата | КГ 05. 32 000. 00 ДП ПЗ | | | | |

Нормованим параметром природного освітлення згідно ДЕН В.2.5-28 – 2006 є коефіцієнт природного освітлення (КПО). Для освітлення приміщення, у якому працює програміст, використовується змішане освітлення, тобто сполучення природного й штучного освітлення. Для загального освітлення приміщення, де перебуває робоче місце програміста, використовуються газорозрядні лампи типу ЛД. Нормами для даних робіт встановлена необхідна освітленість робочого місця $E_n=300$ лк (для робіт високої точності, коли найменший розмір об'єкта розрінення дорівнює 0,3 – 0,5 мм).

3.1.4 Вплив шуму на програміста

Як було вказано вище, в лабораторії знаходиться сім робочих місць з ПК, кожне з яких устатковане монітором, вчестером в системному блоці, трьома вентиляторами системи охолодження ПК та клавіатурою. Крім того поряд працює периферійна техніка. Таким чином у приміщенні мають місце шуми механічного і аеродинамічного походження, широкосмугові із аперіодичним підсиленням при роботі принтерів.

3.1.5 Виробничі випромінювання

Допустимі значення параметрів неіонізуючих електромагнітних випромінювань від монітору комп'ютера представлені в таблиці 1.

Таблиця 3.1. Допустимі значення неіонізуючих електромагнітних випромінювань

| Найменування параметра | Допустимі значення |
|---|--------------------|
| Напруженість електричної складової електромагнітного поля на відстані 50 см від поверхні відео-монітора | 10 В/м |
| Напруженість магнітної складової електромагнітного поля на відстані 50 см від поверхні відео-монітора | 0,3 А/м |
| Напруженість електростатичного поля не повинна перевищувати | 20кВ/м |

На відстані 5-10 см від екрана і корпусу монітора рівні напруженості можуть досягати 140 В/м по електричній складовій, що значно перевищує допустимі значення.

3.1.6 Електробезпека. Статична електрика

Приміщення лабораторії за небезпечною ураження електричним струмом можна віднести до 1 класу, тобто це приміщення без підвищеної небезпеки (сухе, без пилу, з нормальною температурою повітря, ізольованими підлогами і малим числом заземлених приладів). На протязі роботи на корпусі комп'ютера накопичується статична електрика. На відстані 5-10 см від екрана напруженість електростатичного поля складає 60-280 кВ/м, тобто в 10 разів перевищує норму 20 кВ/м.

3.1.7 Організація робочого місця

Кожне робоче місце обладнане робочим столом площею 1,2 м², стільцем та персональним комп'ютером, що складається з монітора, системного блоку, клавіатури та миші. Обладнання і організація робочого місця з ПК мають забезпечувати відповідність конструкції всіх елементів робочого місця та їх взаємного розташування ергономічним вимогам з урахуванням характеру і особливостей трудової діяльності (ГОСТ 12.2.032-78, ГОСТ 22269-76, ГОСТ 21889-76). Дисплей розташований так, що його верхній край перебуває на рівні очей на відстані близько 70 см, що укладається в у припустимі рамки від 60 до 90 см. Частота мерехтіння екрана $f_{мер}=100$ Гц, що відповідає умові $f_{мер} \geq 70$ Гц.

Робоче місце розташоване перпендикулярно віконним прорізам, це зроблено з тією метою, щоб виключити пряму й відбиту мерехтливість екрана від вікон і приладів штучного освітлення, зокрема є лампи накаливання. Обладнання і організація робочого місця з ВДТ мають забезпечувати відповідність конструкції всіх елементів робочого місця та їх взаємного розташування, ергономічним вимогам з урахуванням характеру і особливостей трудової діяльності (ГОСТ 12.2.032-78, ГОСТ 22269-76, ГОСТ 21889-76).

3.2 Пожежна безпека

Ступінь вогнестійкості будинків приймається в залежності від їхнього призначення, категорії по вибухопожежній і пожежній небезпеці, по поверховості, площі поверху в межах пожежного відсіку згідно НАПБ Б.03.002-

| | | | | | | |
|----|------|----------|--------|------|-------------------------|------|
| | | | | | КГ 05. 32 000. 00 ДП ПЗ | Лист |
| | | | | | | 56 |
| Зм | Лист | № докум. | Підпис | Дата | | |

2007. Будинок, у якому знаходиться лабораторія по пожежній безпеці будівельних конструкцій відноситься до категорії К1 (малопожежобезпечні), оскільки тут присутні займисті (книжки, документи, меблі, оргтехніка і т.д.) і тяжкогорючі речовини (сейфи, різне устаткування і т.д.), що при взаємодії з вогнем можуть горіти без вибуху.

Причинами виникнення пожежі можуть бути: несправності електропроводки, розеток і вимикачів які можуть привести до короткого замикання або пробов ізоляції; використання ушкоджених (несправних) електроприладів; використання в приміщенні електронагрівальних приладів з відкритими нагрівальними елементами; виникнення пожежі внаслідок влучення блискавки в будинок; загорання будинку внаслідок зонічних впливів; неакуратне поводження з вогнем і недотриманням вимог пожежної безпеки.

Для гасіння пожеж на робочому місці використовують вуглекислотні та порошкові вогнегасники.

- Вуглекислотні вогнегасники випускаються як ручні (ВВК-5).
- Порошкові вогнегасники ВП-2, ВП-5, ВП-10 та інші.

Назвіть первинних засобів пожежогасіння і вогнегасників, їхня кількість і зміст відповідає вимогам ГОСТ 12.4.009-75 і ISO3941-77. У приміщенні виконуються усі вимоги по пожежній безпеці відповідно до вимог НАПБ А.0.001-95 "Правила пожежної безпеки в Україні". У приміщенні також маєтся план евакуації на випадок виникнення пожежі. Час евакуації відповідає вимогі СНиП 2.01.02-85, а максимальне віддалення робочих місць від евакуаційних виходів відповідає СНиП 2.09.02-85.

| | | | | | | | | | | |
|----|-----|----------|--------|------|-------------------------|--|--|--|--|-----|
| | | | | | | | | | | 402 |
| | | | | | | | | | | 57 |
| Зм | 402 | № докум. | Підпис | Дата | КГ 05. 32 000. 00 ДП ПЗ | | | | | |

ВИСНОВКИ

В результаті виконаної дипломної роботи реалізовано метод, який може бути застосовано для автоматизації пошуку схожих відбитків пальців і створено програмне забезпечення для реалізації даного методу. Створений програмний застосунок дозволяє за прийнятний час виділяти локальні особливості відбитків пальця (папілярний візерунок). В порівнянні з ручним визначенням «на око» по ключових ділянках початкового зображення отримано значний виграти в швидкості і зручності використання. Отримувані статистичні характеристики досить повно описують зображення і дозволяють провести розпізнавання з високим ступенем точності.

Робота включала в себе розробку і реалізацію алгоритму формування відносних параметрів для мінюцій відбитків пальців, підбір параметрів системи допусків і критеріїв подібності при порівнянні двох відбитків, розробку та реалізацію алгоритму пошуку схожих відбитків на основі відносних параметрів мінюцій і розроблених критеріїв подібності.

Розроблена підсистема є невід'ємною частиною системи ідентифікації особи, призначеної для виявлення схожості між двома зображеннями відбитку пальця. В результаті розпізнавання можна встановити особу людини, що привчала палець, що може використовуватися при вході в систему. За допомогою підсистеми розпізнавання можна значно знизити рівень впливу зсуву і перенесення відбитку пальців, а також шумів і спотворень в зображенні.

Створене програмне забезпечення слід розглядати як тестову систему, призначену для виявлення емпіричних закономірностей в наочній області і подальшої розробки у напрямі автоматизації процесу ідентифікації особи користувача за папілярним візерунком відбитків пальців.

| | | | | | | | | | |
|-----|-----|----------|--------|------|-------------------------|--|--|--|-----|
| | | | | | | | | | 402 |
| | | | | | | | | | 58 |
| Зна | 402 | № докум. | Підпис | Дата | КГ 05. 32 000. 00 ДП ПЗ | | | | |

ПЕРЕЛІК ВИКОРИСТАНИХ ДЖЕРЕЛ

1. Загородний В.И. Комплексная защита информации в компьютерных системах // Учебное пособие. – М.: Логос, 2001, – 264 с.
2. Кузнецов Г.А. Биометрические системы: Методы и средства идентификации личности человека. – СПб.: Политехника, 2001. – 240 с.
3. Гудков В.Ю. Метод параллельных цепей для распознавания изображений отпечатков пальцев // Системы и средства информатики. – 2013. – С. 35-49.
4. Самыценок С.С. Атлас необычных папиллярных узоров. – М.: Юриспруденция, 2001. – 307 с.
5. Насонов А.В., Крылов А.С., Ушмаев О.С. Применение метода суперразрешения для биометрических задач распознавания лиц в виде опотока // Системы вышней доступности. – 2009. – Т. 1. – С. 26-34.
6. Ушмаев О.С. Адаптация биометрической системы к искажающим факторам на примере дактилоскопической идентификации // Информатика и её применения – 2009. – Т. 3, № 2. – С. 25-33.
7. Клакович Л. М., С. М. Левецька Теорія алгоритмів: Навчальний посібник. – Друге видання, доповнене / Л. М. Клакович, С. М. Левецька. – Львів: Видавничий центр ЛНУ ім. Івана Франка, 2015 – 161 с.
8. Зацерковний В. І. Алгоритмізація та програмування навчальний посібник / В. І. Зацерковний, В. І. Гур'єв, І. В. Фірсова. – Ніжин: НДУ ім. М. Гоголя, 2013 – 302 с.
9. Ю.О. Гришко, О.С. Шкілняк. Алгоритми обчислювальної геометрії. Навчальний посібник. – 2020 – 153 с.
10. Дьюхарст Программирование на C++ / Дьюхарст, Старк Стефан; Кэти. – М.: ДриаСофт, 2015. – 272 с.
11. Фридман, А. C/C++. Архив программ / А. Фридман, Л. Кландер, М. Михаэлис, и др. – М.: ЗАО Издательство БИНОМ, 2016. – 640 с.
12. Брюс Эккель. Философия C++. Введение в стандартный C++ – СПб.: Питер, 2004. – 577 с.

| | | | | | | |
|----|-----|----------|--------|------|-------------------------|-----|
| | | | | | КГ 05. 32 000. 00 ДП ПЗ | Лог |
| Зм | Лог | № докум. | Підпис | Дата | | 59 |

ДОДАТОК А. Фрагмент тексту модуля TAnalysePicture.cpp

```
#include "StdAfx.h"
#include "TAnalysePicture.h"
TAnalysePicture::TAnalysePicture(const CString src, CDC * screen)
{
pic = new TImgPicture(screen);
em = -1;
if(!pic->Load(src)) em = 0;
pic->Rectangle(CPoint(0,0),pic->GetSize(),10);
srcMsg = src;
ImpPic = new TImgPicture(screen);
ImpPic->Load(src);
pic2 = new TImgPicture(screen);
pic2->Load(BLANK);
}
TAnalysePicture::~TAnalysePicture(void)
{
delete (ImpPic);
delete (pic2);
delete (pic);
}
// Код помилки
int TAnalysePicture::getBr()
{
return em;
}
// Поєднання помилки
CString TAnalysePicture::getBrMsg()
{
CString msg = "";
switch(em)
{
case -1: {msg = "Помилка при завантаженні зображення немож"; break;}
case 0: {msg = "Зображення не завантажено"; break;}
case 1: {msg = "Виникла помилка при завантаженні зображення"; break;}
default: {msg = "Нерозпізнана помилка";}
}
return msg;
}
// Обробка завантаженого зображення і отримання образу
TAbsFing TAnalysePicture::AnalysePicture()
{
TAbsFing re1, re2;
if(em != -1)
{
if(MESSAGE_BOX(MessageBox(NULL, getBrMsg(), "Помилка", MB_OK));
return re1;
}
int preCol;
int changeM = 0; // Лічильник проведення змін на зображенні
list < TMapEBO > map; // Карта точок, що належать лінії
list < TMapEBO > ::Iterator Imap; // Ітератор для map
map = LookPic(); // осягування картини і знаходження ліній на ній
do {
changeM = 0;
preCol = (int) map.size();
Imap = map.begin();
do // З зображення можна модифікувати
if(Imap->pt) // лінія потребує обробки
changeM += ChangeLine(Imap, map); // Обробка (перетворення) зображення
Imap++; // Перехід для обробки наступної лінії
}while(Imap != Map.end()); // З зображення можна модифікувати
}while(preCol < 0.1 * map.size()); // З зображення можна модифікувати
map = LookPic(); // осягування картини і знаходження ліній на ній
Imap = map.begin();
```

```

do { // Зображення можна модифікувати
reI.merge ( ReadPic (map));
map ++; // Перехід для обробки наступної лінії
} while (map != MapEnd ()); // Зображення можна модифікувати
//*****/ Фільтрування отриманих точок //*****/
// віддаються тільки спільні в протилежні рядки //
//***** а також точки ліворуч і праворуч від ліній немає ліній //*****
int iDob = 0; // число відібраних точок
int iDobF = DobFilter (reI); // фільтрування отриманих точок
reI.clear ();
for (TAbstr::Iterator iter = reI.begin (); iter != reI.end (); iter++)
{
if (!iter->show) continue;
// малювання знайдених точок (кольр задання і подвоєння рівня)
COLORREF col = (iter->type)? 0xFF0000 : 0x000000;
pic2->Line (iter->coord, iter->coord, S, col);
pic2->Line (iter->coord,
CPoint (iter->coord.x + (int) (10.0 * cos (iter->alpha)), iter->coord.y - (int) (10.0 * sin (iter->alpha)),
2, col);
reI.push_back (*iter);
}
reI.clear ();
return reI;
}
TAbstr TAnalysePicture::ReadPic (list < TMap & DobF::Iterator _do)
// Знаходження на зображенні спец. точок
{
TAbstr reIFing; // 0 браз відбитка в абсолютних координатах
int kol = 0; // кількість пройдених точок
int iec = 0; // напрямок пошуку чергової точки
int iekS = 0; // Поточна кількість коротких векторів
CPoint A; // Початок вектора
B; // Кінець вектора
TAbstr iecDobF; // масив точок для коротких векторів
TAbstr iecDobL; // масив точок для довгих векторів
TAbstr hisJoyDobL; // історія точок для довгих векторів
TAbstr _impDobFing, bestDob;
TAbstr::Iterator iter;
double alpha; // напрямок вектора (в градусах)
int stopKol = 2000; // межа кроків
int reI = 0; // лічильник кроків після проходження початкової точки
bool homeOver = false; // ознака закінчення обробки
A = _do->coord; B = _do->coord;
CPoint oldDob, dob = _do->coord; // Поточна точка на лінії
do {
// основний цикл обробки,
// варіанти завершення циклу
// триває до тих пір, поки вся лінія не буде пройдена (нормальний варіант)
// зашукання (ненормальний) варіант, % кілька)
oldDob = dob;
dob = pic->NextDob (dob, iec); // Пошук наступної точки за годинниковою стрілкою
if (dob.x == oldDob.x && dob.y == oldDob.y)
// становище точки не змінилось => вихід //
CString s;
s.Format ("%d, y = %d, kol = %d", dob.x, dob.y, kol);
if (MESSAGE_BOX (0, "Положення точки не змінилось => вихід", 1, s, MB_OK);
return reIFing;
}
kol++; // підрахунок пройдених точок
if (kol % LEN_S == 0)
// з'явився новий короткий вектор
iekS++;
A = B;
B = dob;
pic2->Line (A, B, 1, 0x999999);
_impDobFing.coord = A;
alpha = GetAlpha (A, B);
// розрахунок локального напрямку між KO_L_S pik2s ліній (напрямок короткого вектора)

```

```

double dAlpha = 0.0; // Різниця кутів
if(uecboB.size() > 0) // в сплайні можна взяти попер едне значення
dAlpha = alpha - uecboB.begin() -> alpha;
// ** / if(abs(dAlpha) >= M_PI) // різниця між новим кутом і попереднім ненормальна!
// необхідно окорегувати поточну alpha
// ** / if(dAlpha < 0.0)
{
while (abs(dAlpha) >= M_PI)
{
alpha += 2.0 * M_PI;
dAlpha += 2.0 * M_PI;
}
} else
{
while (dAlpha >= M_PI)
{
alpha -= 2.0 * M_PI;
dAlpha -= 2.0 * M_PI;
}
}
}
_impDofIng alpha = alpha; // записити оновлення напрямку з точки A //
uecboB.push_front(_impDofIng);
// *** перевіряємо два сусідніх доєднх вектора з умови що ****
// *** продлено доєднть точки, щоб порівнювати доєдн вектора ****
if(uecboB.size() < KO_L_S) continue;
// Обчислення середнього напрямку LEM_L коротких векторів //
// запис даних по доєдному вектору *****/ ***/
double sumAlpha = 0.0;
Iter = uecboB.begin();
uecboIL.clear(); // перерахуємо доєдн вектора
for (int i = 0; i < KO_L_S; i++)
{
sumAlpha += Iter->alpha;
if((i + 1) % LEM_L == 0)
{
_impDofIng = *Iter;
_impDofIng.alpha = sumAlpha / LEM_L;
uecboIL.push_back(_impDofIng);
sumAlpha = 0.0;
}
Iter++;
}
if(abs(uecboIL.begin() -> alpha) >= 3 * 2 * M_PI)
// занадто багато оборотів //
OSetting s;
s.Format("alpha = % .2f", uecboIL.begin() -> alpha * 180);
if(MESSAGE_BOX) MessageBox(0, "занадто багато оборотів \n" + s, "", MB_OK);
return reIfIng;
}
// перевіряємо два сусідніх доєднх вектора //
dAlpha = uecboIL.begin() -> alpha - (++ uecboIL.begin() -> alpha);
if(abs(dAlpha) > (TEST_ALPHA / 180.0 * M_PI)) // критичний випадок //
{
if(!his kryboIL.empty())
// збереження стану //
besDof.alpha = 0.0;
}
if(dAlpha > 0) // продовження
alpha = (uecboIL.begin() -> alpha - M_PI + (++ uecboIL.begin() -> alpha) / 2.0;
else // задняєння
alpha = (uecboIL.begin() -> alpha + M_PI + (++ uecboIL.begin() -> alpha) / 2.0;
_impDofIng = uecboIL.front();
_impDofIng.alpha = alpha; // напрям в СТ (стандартна точка) //
_impDofIng.type = dAlpha < 0; // тип СТ //
his kryboIL.push_front(_impDofIng);
if(besDof.alpha <= abs(dAlpha))
{

```

```
bestDotCoord = _ImpDoFing.coord;
bestDotAlpha = abs(dAlpha);
}
}
else // сильнейший вывих //
{
if (!historyDotL.empty ()) // было пройдено сильнейший вывих
{
alpha = 0;
for (iter = historyDotL.begin (); iter != historyDotL.end (); iter++)
alpha += *iter -> alpha;
alpha /= historyDotL.size (); // средние значения в прошедшей ОТ
iter = historyDotL.begin ();
for (unsigned int i = 0; i < (historyDotL.size () / 2); i++) iter++;
// С Point (wdot = iter -> coord; // найдем лучшую точку для ОТ
C Point (wdot = bestDotCoord; // найдем лучшую точку для ОТ
// Если разрешение в пиксели, то выключенные точки имеют продолжения
// С Point (dofForAccpI = FindAccpIDot (wdot, alpha, iter -> type);
// If (dofForAccpI.x == -1)
// точка не имеет продолжения, запоминаем ее //
_ImpDoFing.alpha = ChangeAlphaInterval (alpha);
_ImpDoFing.coord = wdot;
_ImpDoFing.show = true;
_ImpDoFing.type = historyDotL.begin () -> type;
reIfing.push_back (_ImpDoFing);
}
historyDotL.clear ();
stopKol += (kol * 1.5 > stopKol)? 1000:0;
}
}
}
if (dof.x == _dof.coord.x && dof.y == _dof.coord.y)
// фактически обход линии завершено
if (kol == 2)
// линия короткая
CString s;
s.Format ("%d", kol);
if (MESSAGE_BOX (0, "kol == 2 kol = " + s, "", MB_OK);
return reIfing;
} else
{
homeUser = true; // пройти необходимо для почку
stopKol = kol + KO_LL * LEN_L * LEN_S;
}
}
if (homeUser) reI++;
} while (reI < (LEN_L * LEN_S * KO_LL) && reI < stopKol && kol == stopKol);
_dof.pr1 = false;
_dof.pr2 = false;
return reIfing;
}
IISI = TMapEBO::TAnalysePicture::LookPic ()
// локально "пробегать" по картинке
// запоминание черных крапок, после нахождения черной точки
// проверка edgeLine в колр фоне (удаления линии картинка)
{
IISI = TMapEBO::map;
TMapEBO dot;
ImpPic = Copy (*pic);
for (int i = 0; i < pic->GetSize ().y; i++)
for (int i = 0; i < pic->GetSize ().x; i++)
{
if (!ImpPic->GetPic (i, i)) // найдено черное пиксель
{
dot.coord.x = i; dot.coord.y = i;
dot.pr1 = dot.pr2 = true;
map.push_back (dot);
ImpPic->FloodFill (i, i, 0); // удаление линии

```

```

}
}
Imp Pic<- Copy (*p k);
return map;
}
Ini TAnalyse Picture :: Change Line (IsI<TMap B Do P :: Iter for _doI, IsI<TMap B Do P & _map)
// Обробка картинки, Yzміна
// Обробка лінії, на яку вказує lmap
// Виправлення псевдо-роздвоєнь і псевдо-зайнчень на вказаній лінії
{
Ini change M = 0; // кількість модифікацій на лінії
Ini kol = 0; // кількість пройдених точок
Ini ues = 0; // напрямок пошуку чергової точки
Ini lekB = 0; // Поточна кількість коротких векторів
C Point A, // Початок вектора
B; // Кінець вектора
TAbs Fing ues Do B; // масив точок для коротких векторів
TAbs Fing ues Do IL; // масив точок для довгих векторів
TAbs Fing his koI Do IL; // історія точок для довгих векторів
TAbs DoI _Imp DoI Fing ;
TAbs Fing :: Iter for Iter;
TAbs DoI rese IDoI, bas IDoI;
double dir ha; // напрямок вектора (в градусах)
Ini s koI Kol = 1500; // межі кроків
Ini rel = 0; // лічильник кроків після проходження початкової точки
bool home O uer = false; // ознака закінчення обробки
_doi> prI = false;
A = _doi> coord; B = _doi> coord;
C Point old doI, doI = _doi> coord; // Поточна точка на лінії
do {
// основний цикл обробки,
// варіанти завершення циклу
// триває до тих пір поки вся лінія не буде пройдена (нормальний варіант)
// задушення (ненормальний варіант, % кілька)
//
old doI = doI;
doI = pic<- Mex IDoI O W (doI, ues); // Пошук наступної точки за годинниковою стрілкою
If (doIx == old doIx && doIy == old doIy)
// становище точки не змінилось => вихід //
C String s;
s.Format ("x = % d, y = % d, kol = % d", doIx, doIy, kol);
If (MESSAGE_BOX (T) Message Box (s, "Положення точки не змінилось => вихід", 1, 0 + s, "M_B_O_K));
return change M;
}
kol ++; // підрахунок пройдених точок
If (kol % LEN_S == 0)
// з'явилася новий короткий вектор
lekB ++;
A = B;
B = doI;
// pic2-> Line (A, B, 1, D565666);
_imp DoI Fing coord = A;
alpha = GetAlpha (A, B);
// розрахунок локального напрямку між KO_L_S пікселів (напрямок короткого вектора)
double dAlpha = 0.0; // Різниця кутів
If (ues Do B size () > 0) // в спільну можна взяти попереднє значення
dAlpha = alpha - ues Do B be gh () -> alpha;
/* // If (abs (dAlpha) > M_P 0 // різниця між новим кутом і попереднім ненормальна!
// необхідно охоругувати поточну alpha
/* // If (dAlpha < 0.0)
{
while (abs (dAlpha) > M_P 0)
{
alpha += 2.0 * M_P 1;
dAlpha += 2.0 * M_P 1;
}
} else
{
}
}
}
}

```